

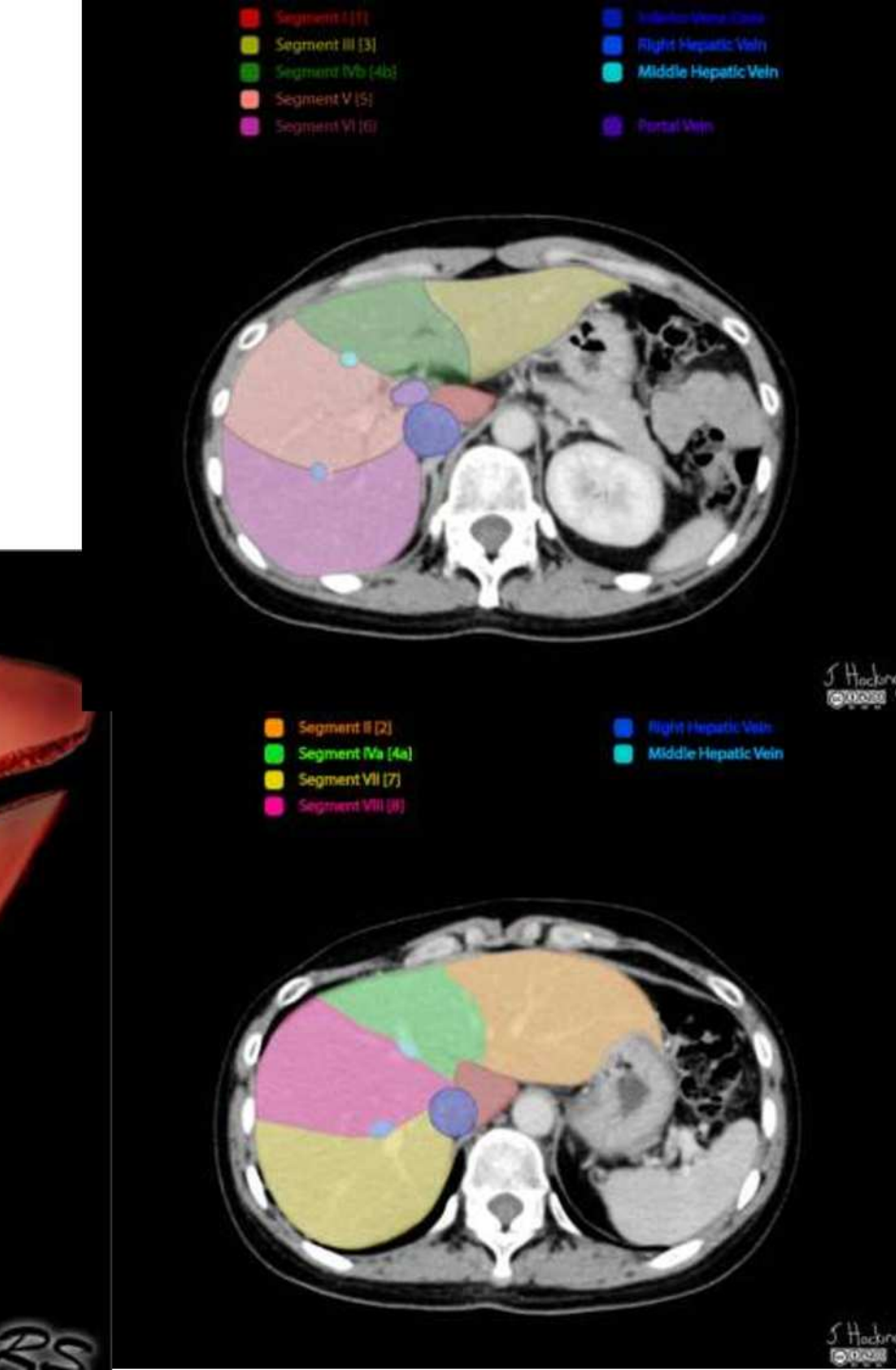
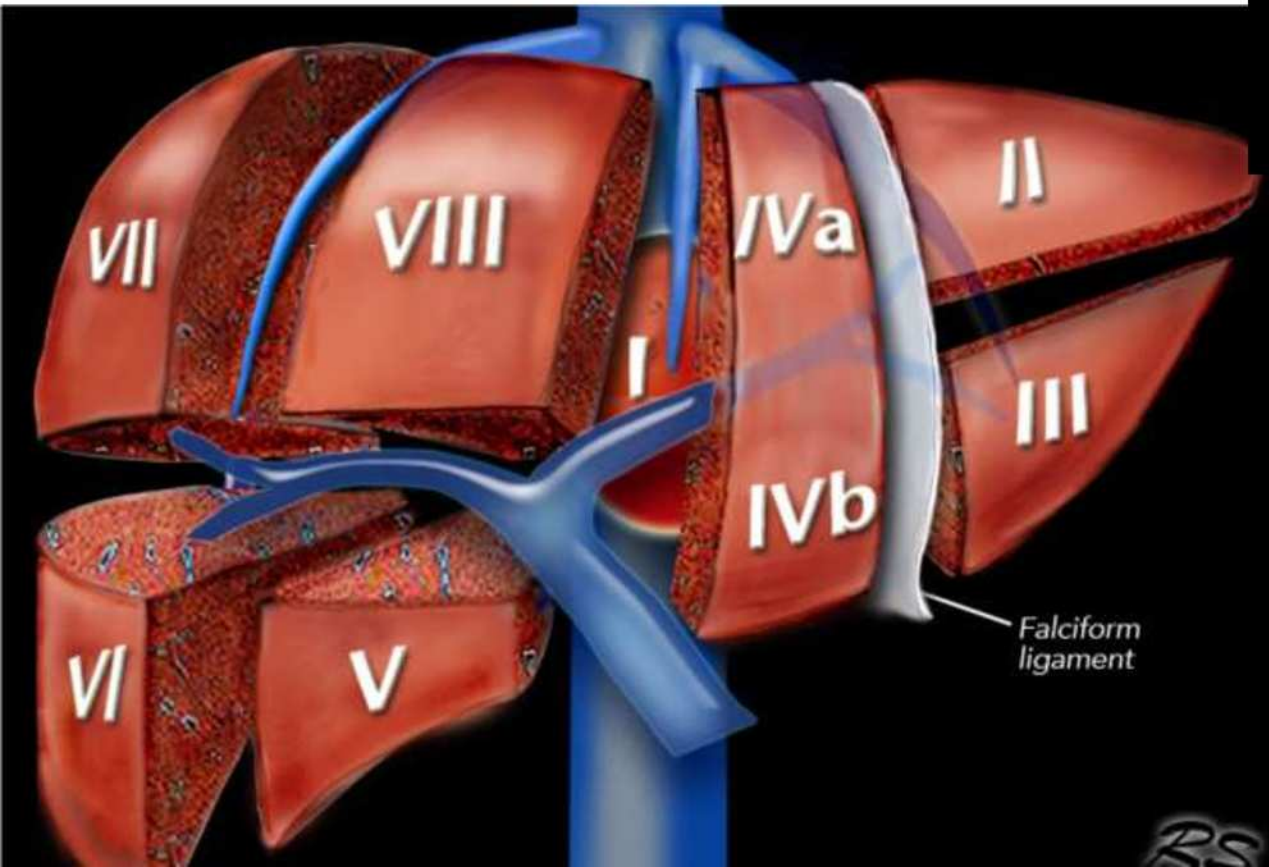
# Maksa difuussed haigused

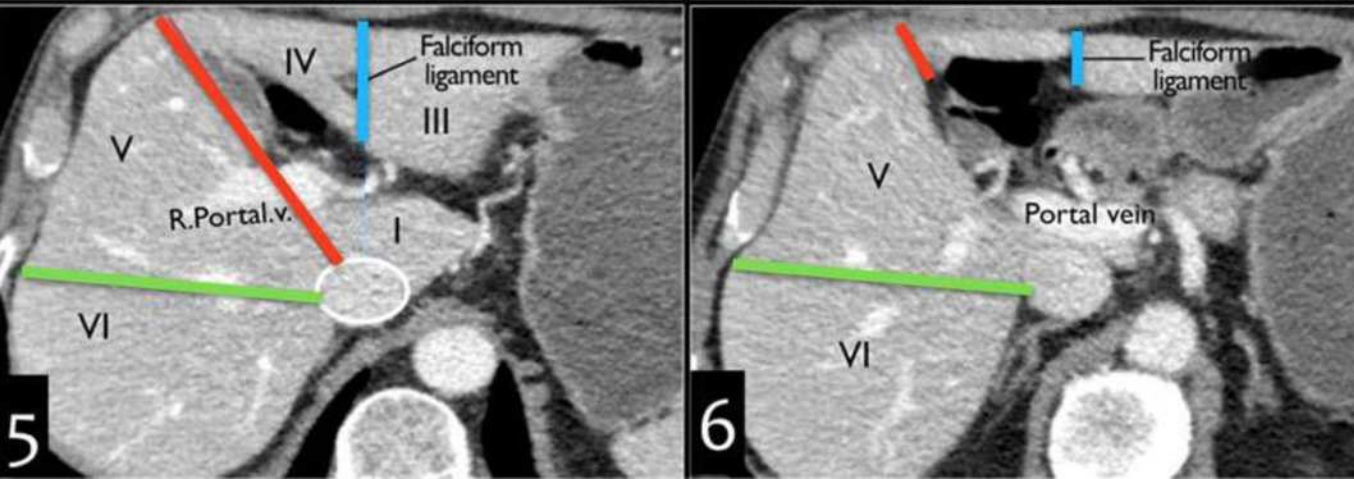
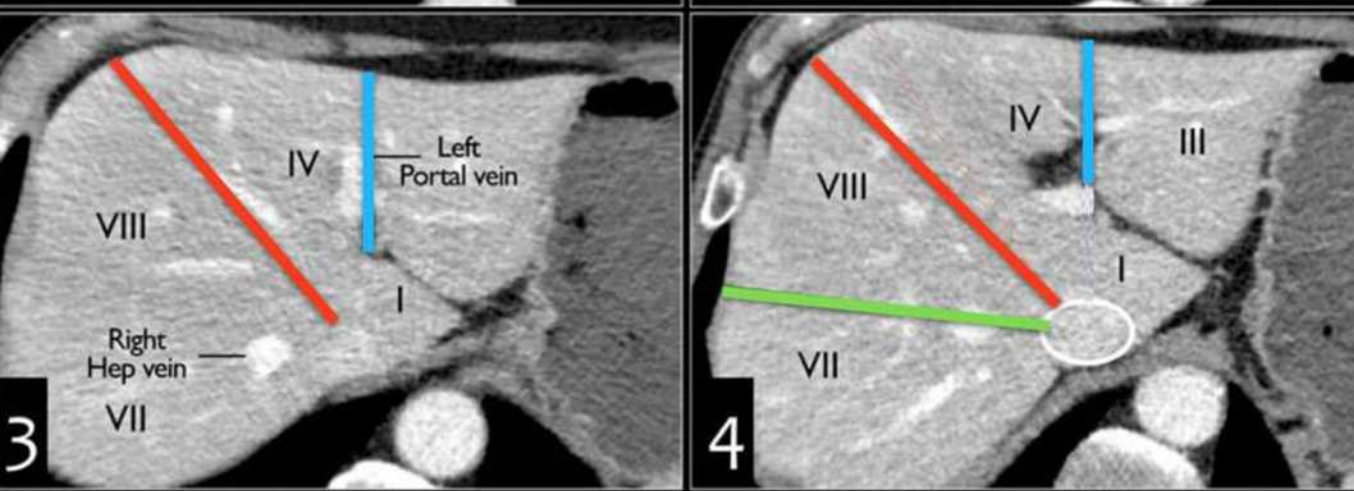
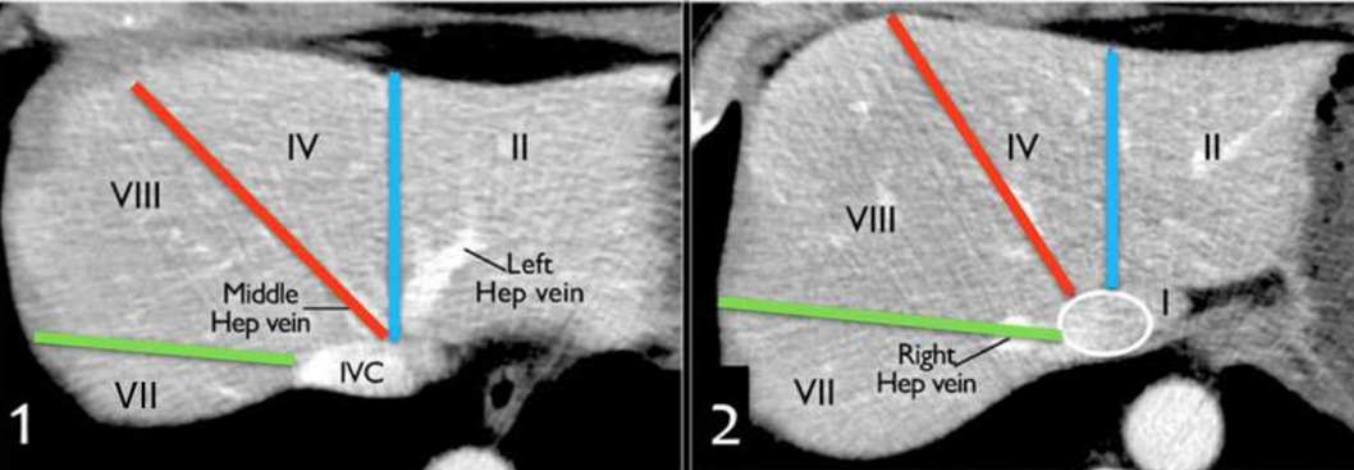
Alina Denissova

5. aasta radioloogia resident

Tartu 2023

# Maksa anatoomia





### Vasak sagar: lateraalne (II/III) vs mediaalne (IV A/B)

Eraldusjoon mööda lig.falciforme kulgu kranaalsele maksaveenide konfluentsi piirkonda vasaku ja keskmise maksaveeni vahelle (sinine joon).

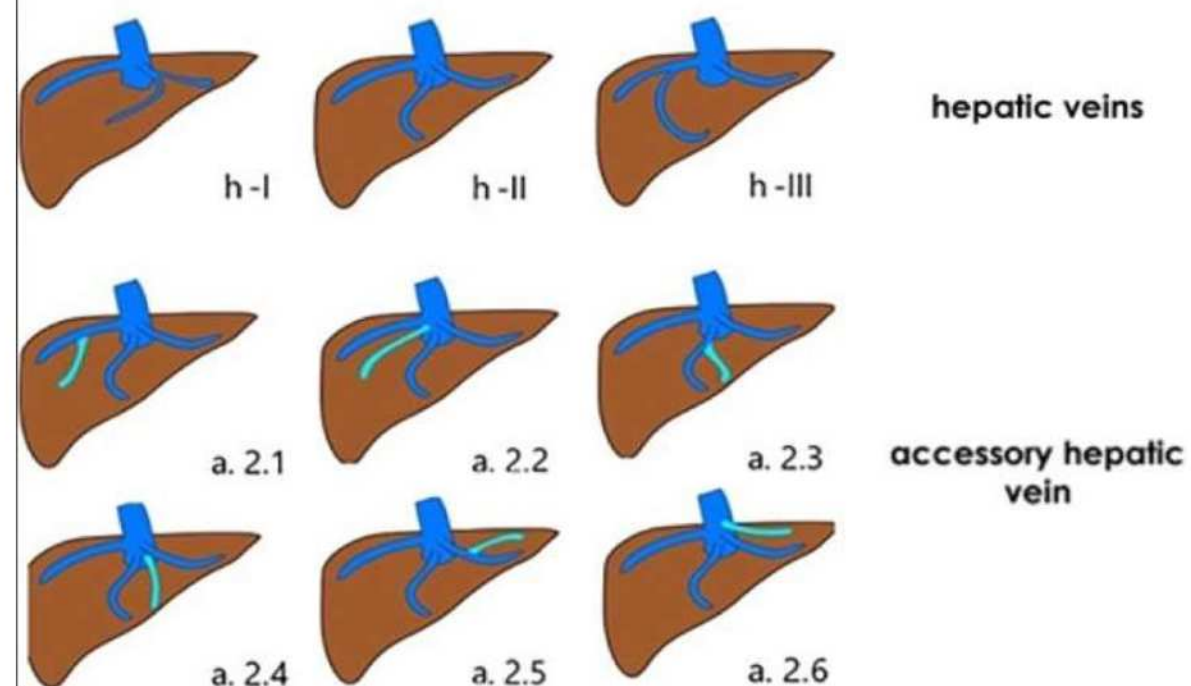
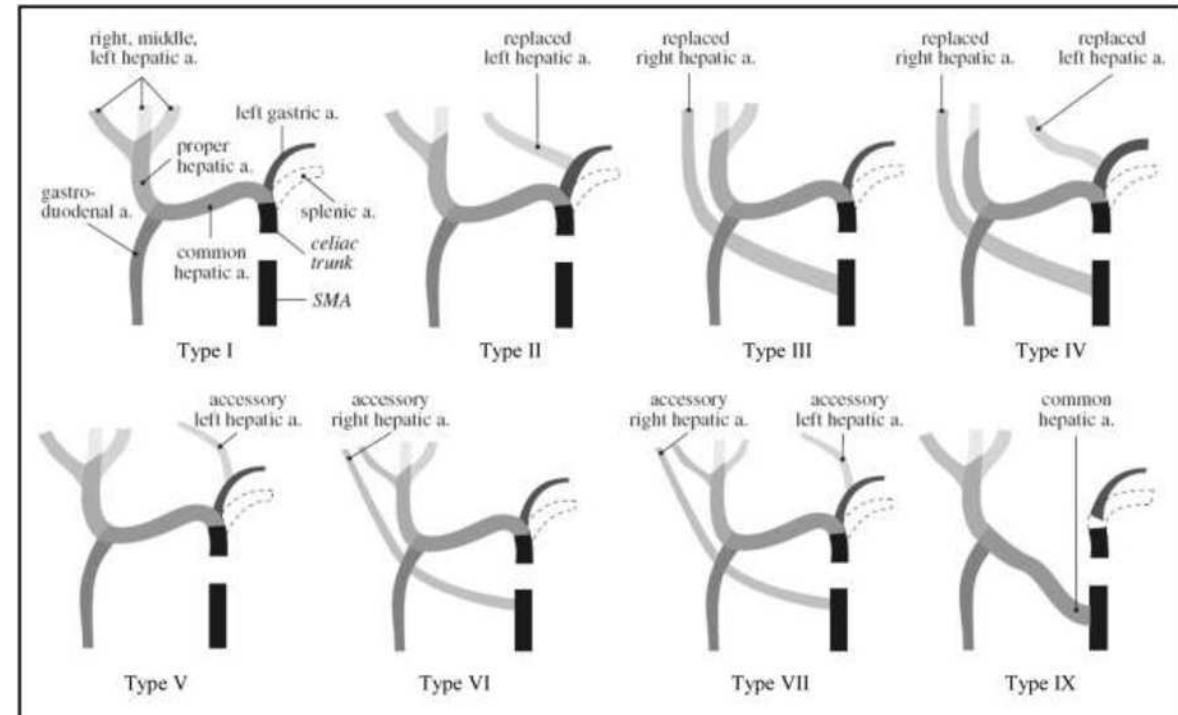
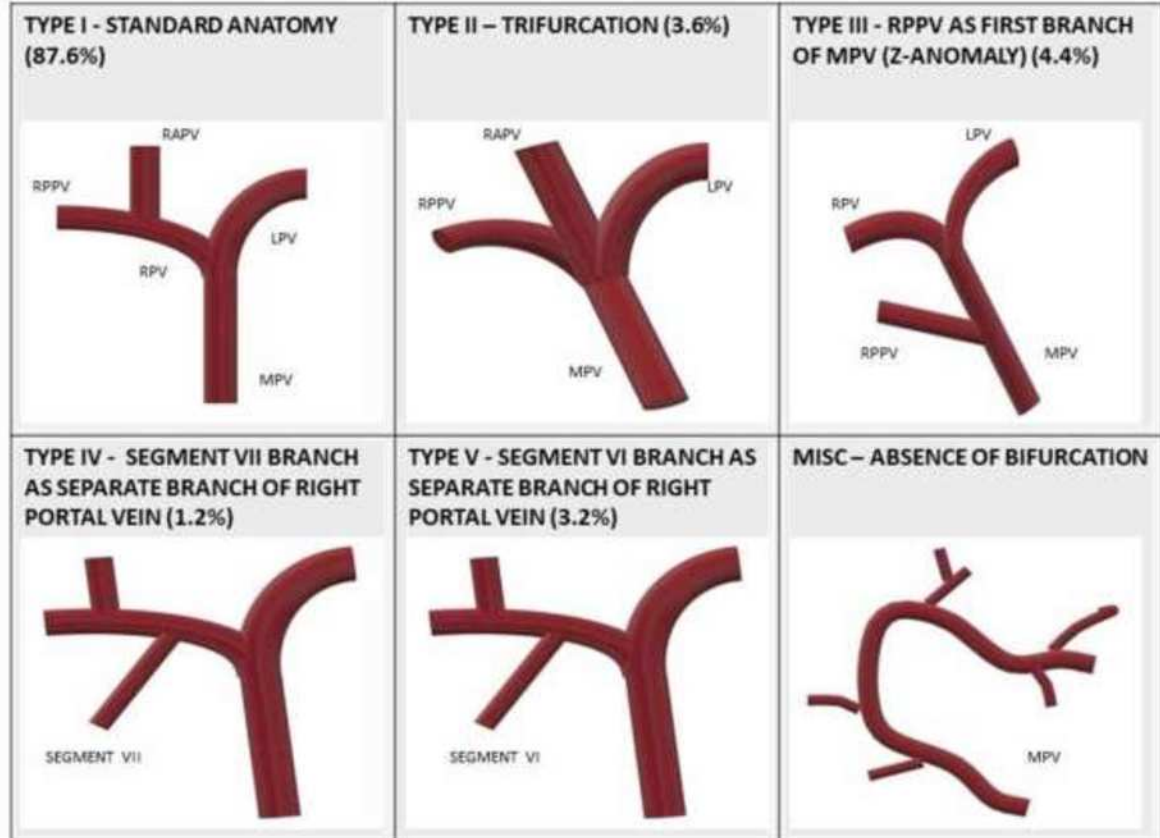
### Vasak vs parem sagar:

Eraldusjoon sapipõie loozist kranaalsele mööda keskmise maksaveeni kulgu konfluentseini (punane joon).

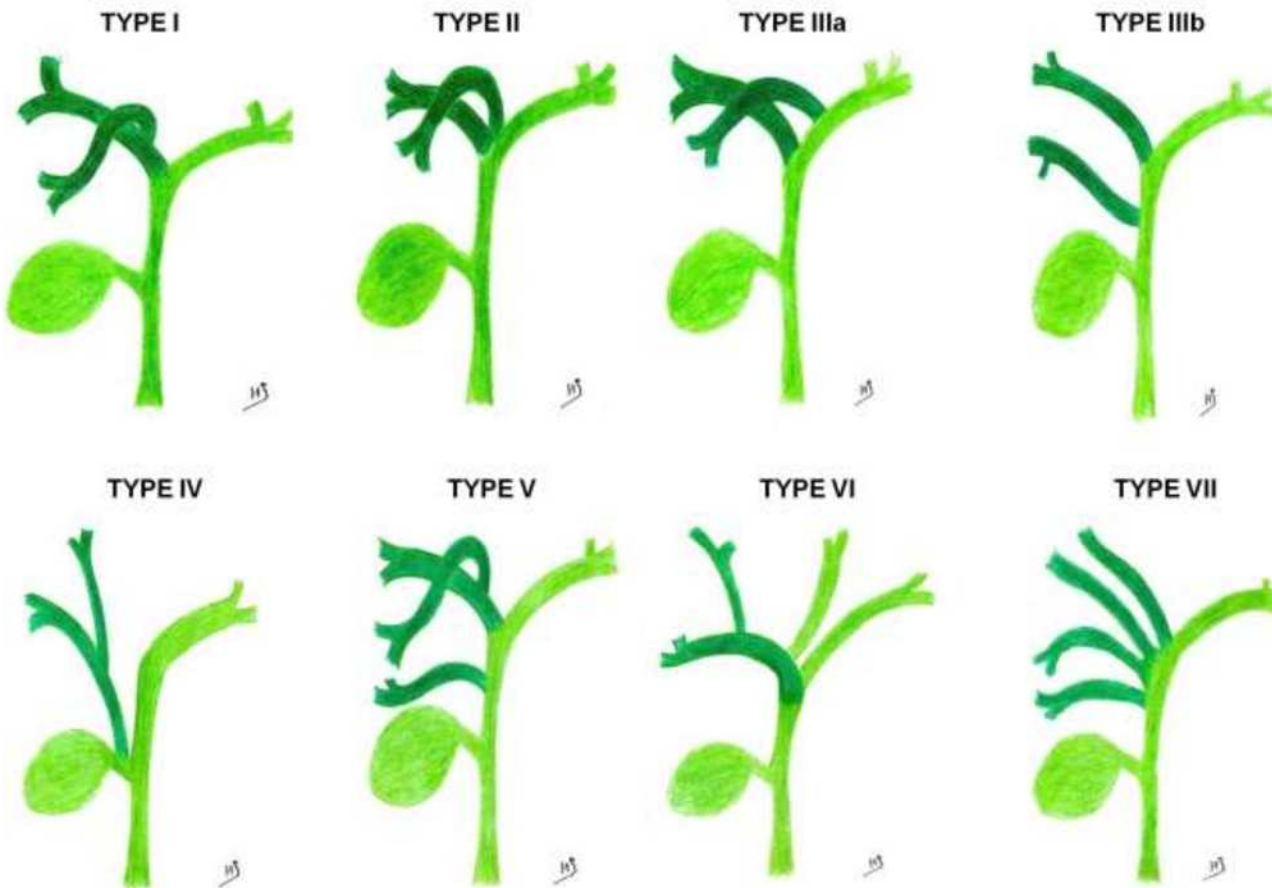
### Parem sagar: anteroorne (V/VIII) vs posterioorne (VI/VII)

Eraldusjoon mööda paremat maksaveeni kaudalsemale (roheline joon)

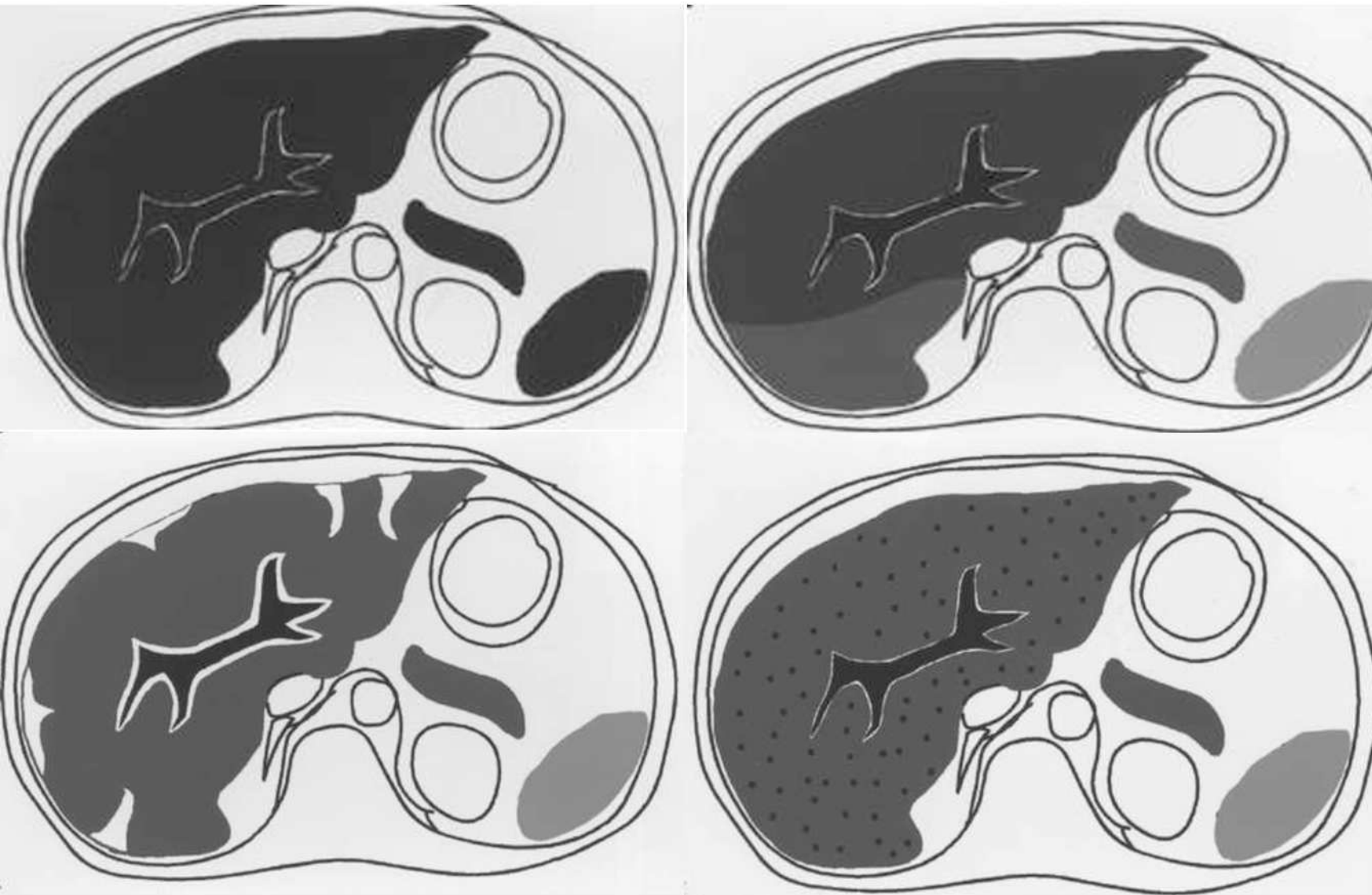
# Vaskulaarne anatoomia



# Sapiteede anatoomia



# Maksa difuussed haigused



- Hepatotsüütide kahjustus
- Etioloogia:
  - Metaboolised ja ladestushaigused
  - Vaskulaarsed
  - Põletikulised
- Erinevad jaotuse mustrid
  - Homogeenne
  - Segmentaalne
  - Nodulaarne
  - Perivaskulaarne

# Steatoos

- Triglütseriidide ladestumine hepatotsüütides
- Etioloogia:
  - Metaboolne sündroom (diabeet tüüp II, rasvumine, hüpertriglütserideemia)
  - Alkohol
  - Ravimid, geneetilised faktorid jne.
- AFLD - *Alcoholic fatty liver disease*
  - Esimene alkohoolse maksahaiguse faas - pöörduv
  - 10-20% alkohoolikutest tekib kliiniliselt oluline haigus
- NAFLD – *Non-alcoholic fatty liver disease*
  - Globaalne epideemias -> 25% rahvastikust
    - 1-5% tekib NASH (*non-alcoholic steatohepatitis*)

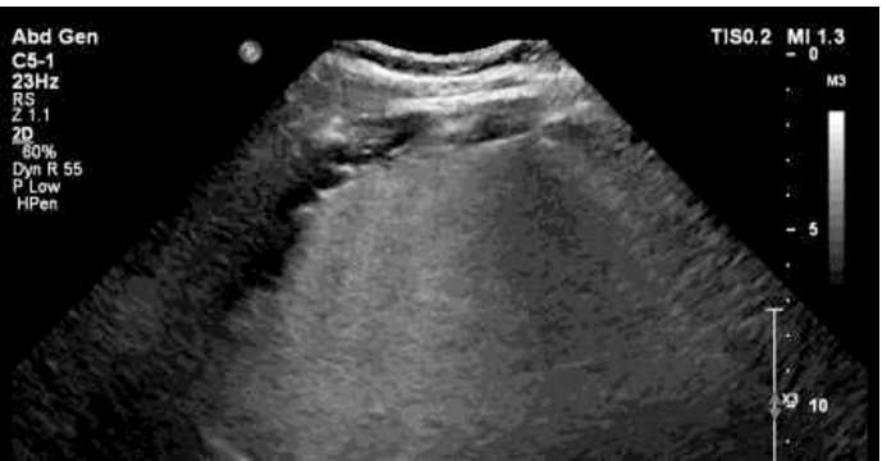
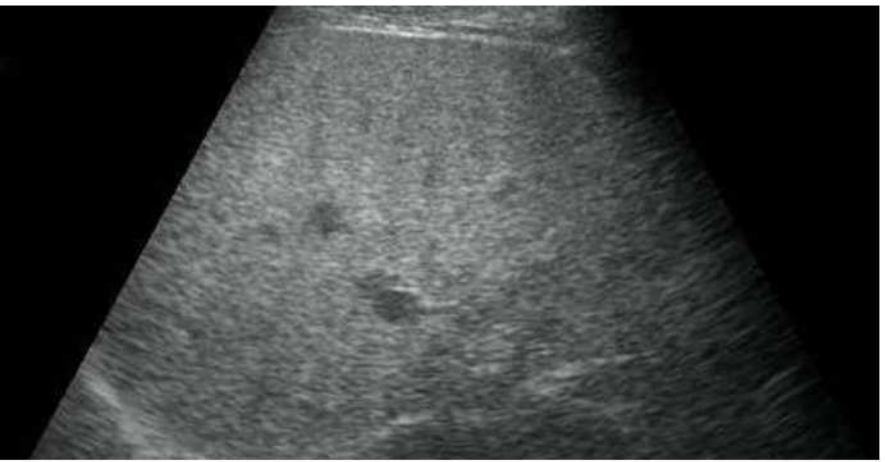
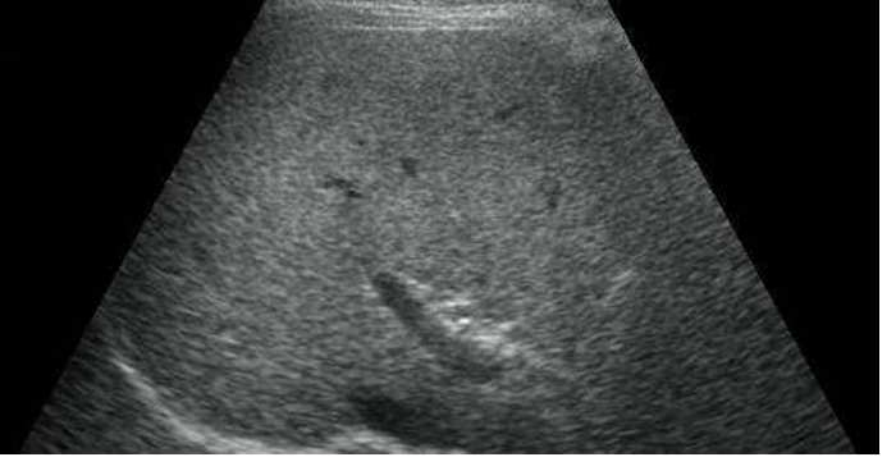
› Hepatology. 2023 May 1;77(5):1797-1835. doi: 10.1097/HEP.0000000000000323. Epub 2023 Mar 17.

## AASLD Practice Guidance on the clinical assessment and management of nonalcoholic fatty liver disease

Mary E Rinella <sup>1</sup>, Brent A Neuschwander-Tetri <sup>2</sup>, Mohammad Shadab Siddiqui <sup>3</sup>,  
Manal F Abdeimalek <sup>4</sup>, Stephen Caldwell <sup>5</sup>, Diana Barb <sup>6</sup>, David E Kleiner <sup>7</sup>, Rohit Loomba <sup>8</sup>

Affiliations + expand

PMID: 36727674 DOI: 10.1097/HEP.0000000000000323



- UH

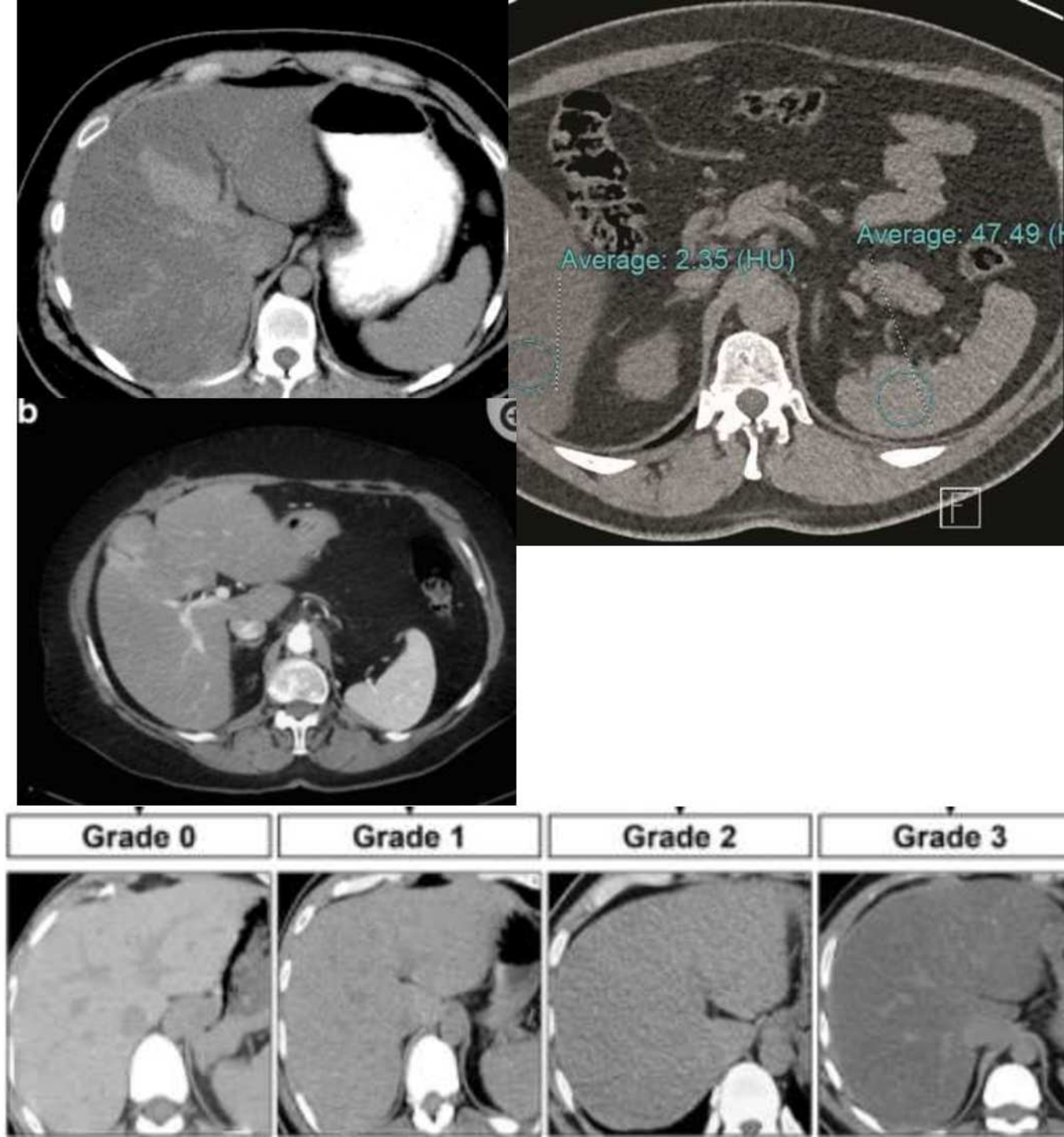
- Ehhogeensuse tõus
  - Võrrelda neeru korteksiga või põrnaga

Raskusastmed:

- **grade I:** difuusne maksakoe ehhogeensuse tõus, aga periportaalne ja diafragma kontuur eristuv
- **grade II:** difuusne maksakoe ehhogeensuse tõus, periportaalne ja diafragma kontuur raskemini eristuv
- **grade III:** maksakoe ehhogeensuse tõus, periportaalne ruum ja diafragma kontuur ei eristu

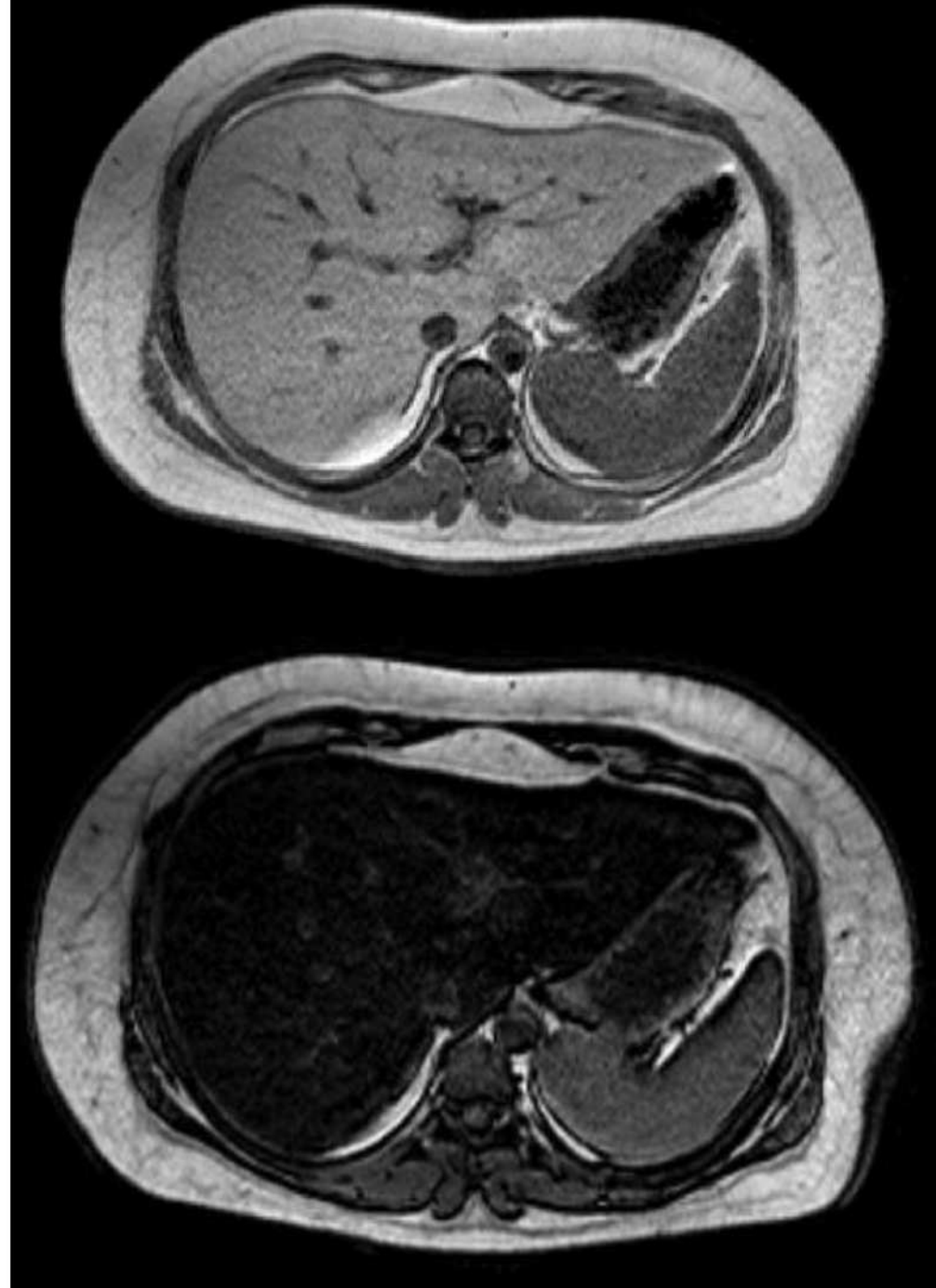
# • KT-uuring

- Natiivuuringul tihedus normis 55-60 HU
  - Tiheduse langus alla 40 HU -> mõõdukas/raske steatoos (rasva üle 30%)
  - Maksa tihedus >10 HU väiksem võrreldes põrna tihedusega
  - Tihedust tõstvad seisundid võivad segada interpreteerimist (glükogeen, raud, amiodaroon jne)
- Kontrastaineaga KT-uuringul on maksasteatoos raskemini tuvastatav
  - Maksakoe normaalse kontrasteerumisintensiivsuse varieerumine
    - Sõltub kontrasti manustamise protokollist
    - Skanneerimise ajastusest
    - Vereringest
  - Maksa-põrna tiheduse erinevus (maks-põrn) vähem kui -20 kuni -43 HU (portovenooosses faasis)
  - Fokaalne normaalne maksakude sapipõie loozhi juures ja IV segmendi perifeerises osas



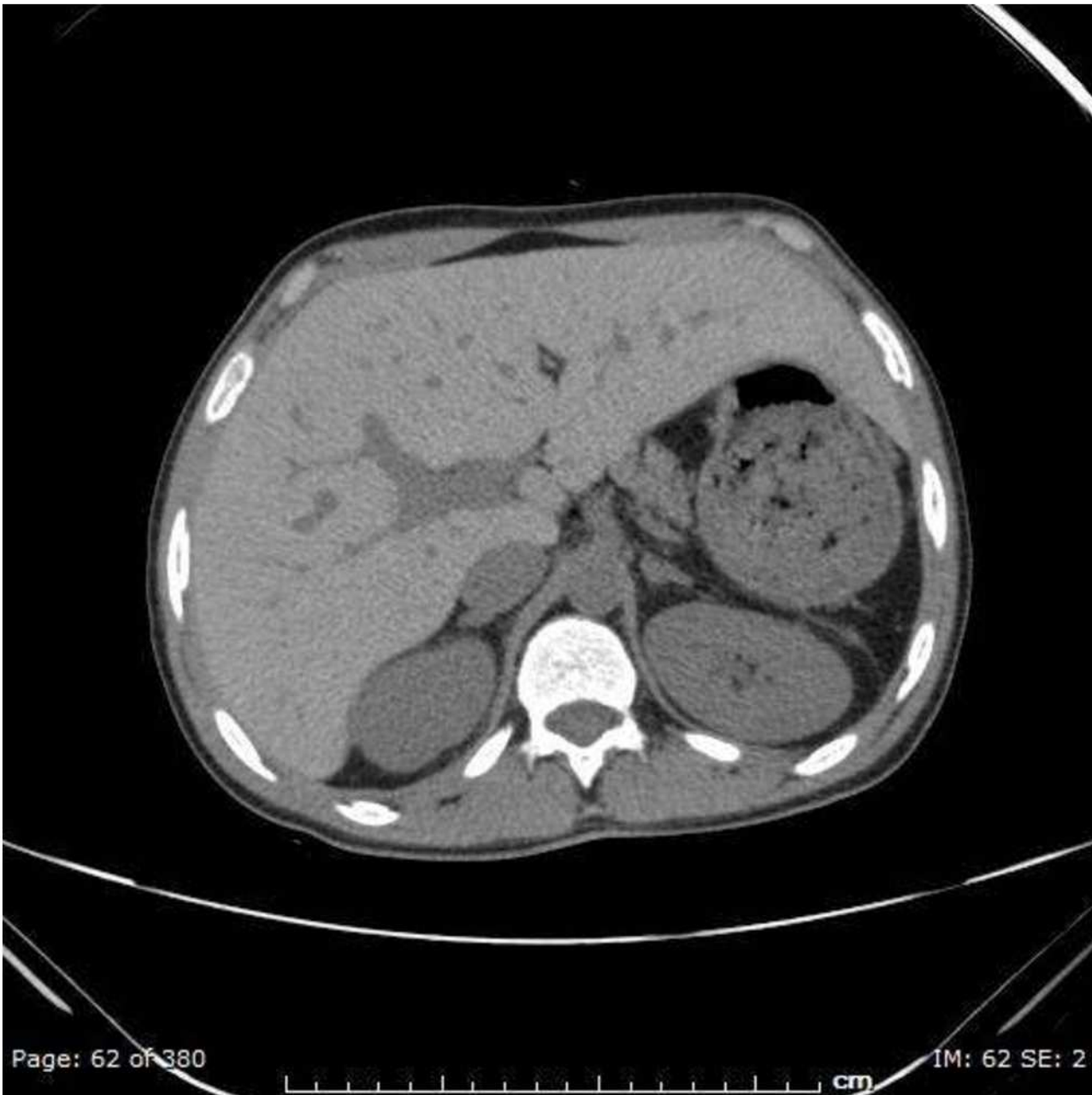
# • MRT-uuring

- IP-OOP kujutised
  - OOP kujutisel signaalilangus
- T1 sekventsis signaalitõus
- T2 sekventsis võib olla samuti kerge signaalitõus
- IP-OOP kujutised: signaalilangus tekib kui rasva on 10-15%, maksimaalne signaalilangus on rasvassisaldusel 50% (üle selle tekib paradoksaalne efekt)
  - Veemolekule on relatiivselt vähem, et "välja lülitada" / tasakaalustada rasva signali.
  - Raua ladestumine võib maskeerida steatoosi IP-OOP kujutisel – mölemad on madala signaaliga
- Steatoosi raskusastme kvantifitseerimiseks kasutatav valem:  
$$[(\text{maks IP} / \text{põrn IP}) - (\text{maks OOP} / \text{põrn OOP})] / [(\text{maks IP} / \text{põrn IP})] \times 10$$
- Kalkulaatorid online



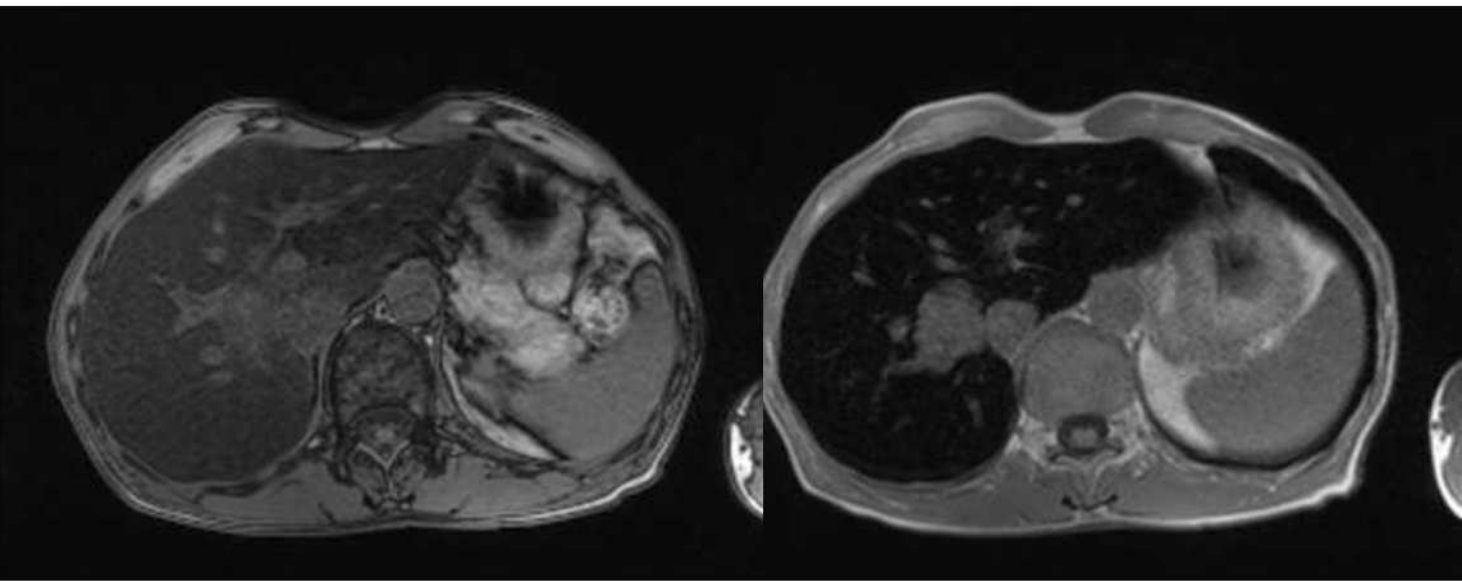
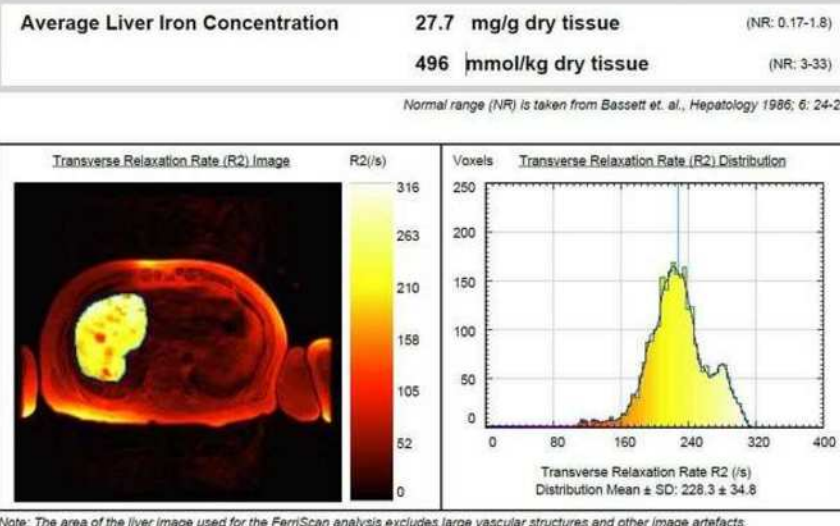
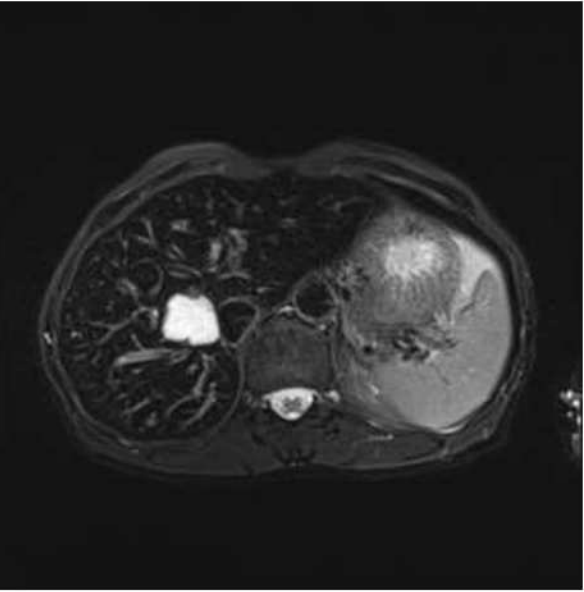
# Raua ladestumine

- Hemokromatoos -> raua ladestushaigus, mida iseloomustab organismi raua varude tõus ning selle ladestumine väljaspool retikuloendoteliaalsüsteemi
  - \* primaarne vs sekundaarne
- Laboratoorne leid:
  - Ferritiini tõus
  - Transferriini küllastatuse tõus
- KT-uuring – parenhüumi tiheduse tõus
  - 75-130 HU
  - Sensitiivsus ja spetsiifilisus pole hea

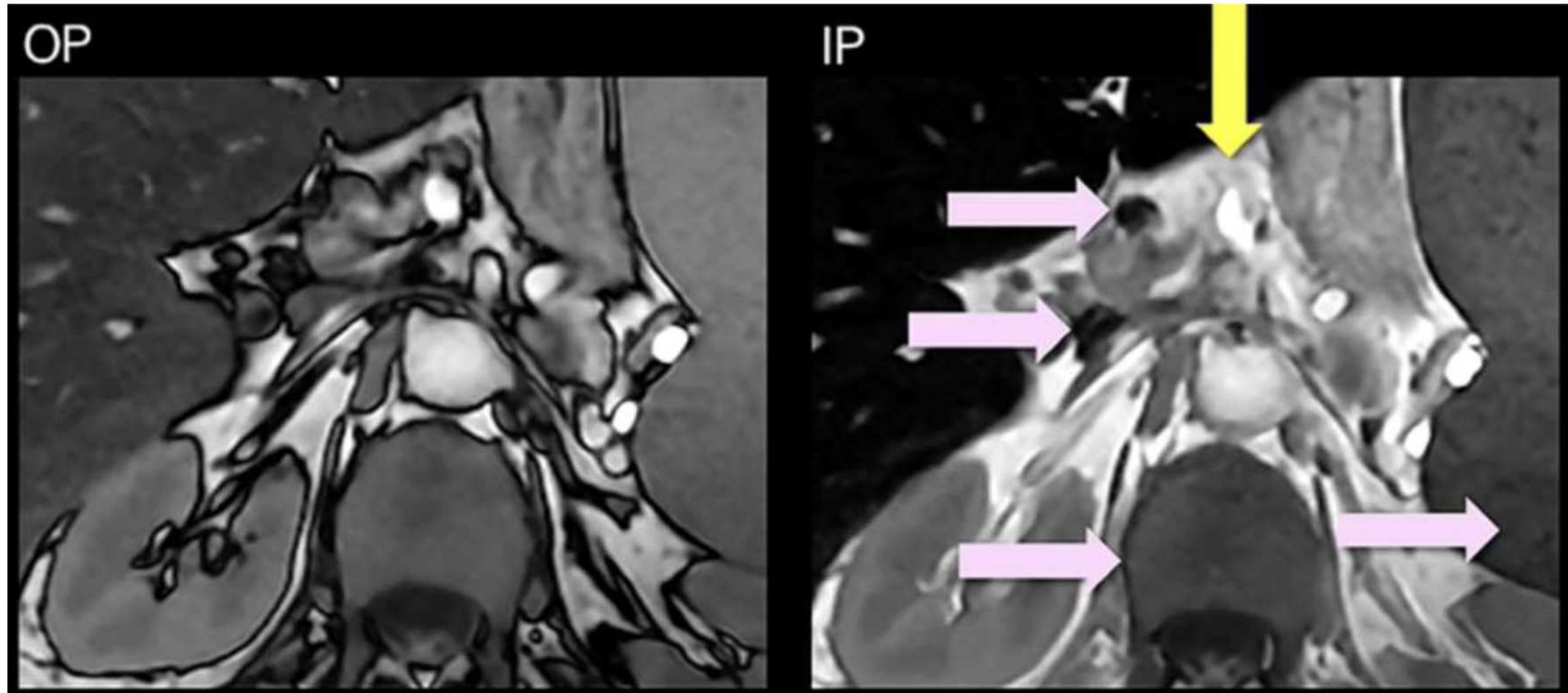


# Raua ladestumine

- MRT – uuring on parim mitteinvasiivne meetod raua koguse kvantititseerimiseks maksakoes.
    - Ei ole operatorsõltuv
    - Diagnoos
    - Raskusastme määramine
    - Ravi monitoorimine
    - Kõrge spetsiifilisus, sensitiivsus
  - T2 kujutisel signaali langus, IP-OOP kujutisel signaalimuutus (langenud IP kujutisel)
  - T2 relaksomeetria**
    - Raual maksakoes on paramagneetilised omadused
    - T2 relaksatsiooniaeg väheneb
    - Relaksatsiooniaja kiirenemine on proporsionaalne raua kontsentratsiooniga
    - Multi-echo sekvents selleks, et saada usaldusväärsed T2 ajad erinevate rauatasemetega juures. Saadakse T2 parameetrite kaart.
  - Online kalkulaatorid
  - Väljendunud stetaoos võib segada.
- Signal intensity ratio (SIR)**
- Signaalide suhe maksakoe ja paraspinaalse lihase vahel.
- ROI sinna, kus pole suuri veresooni.

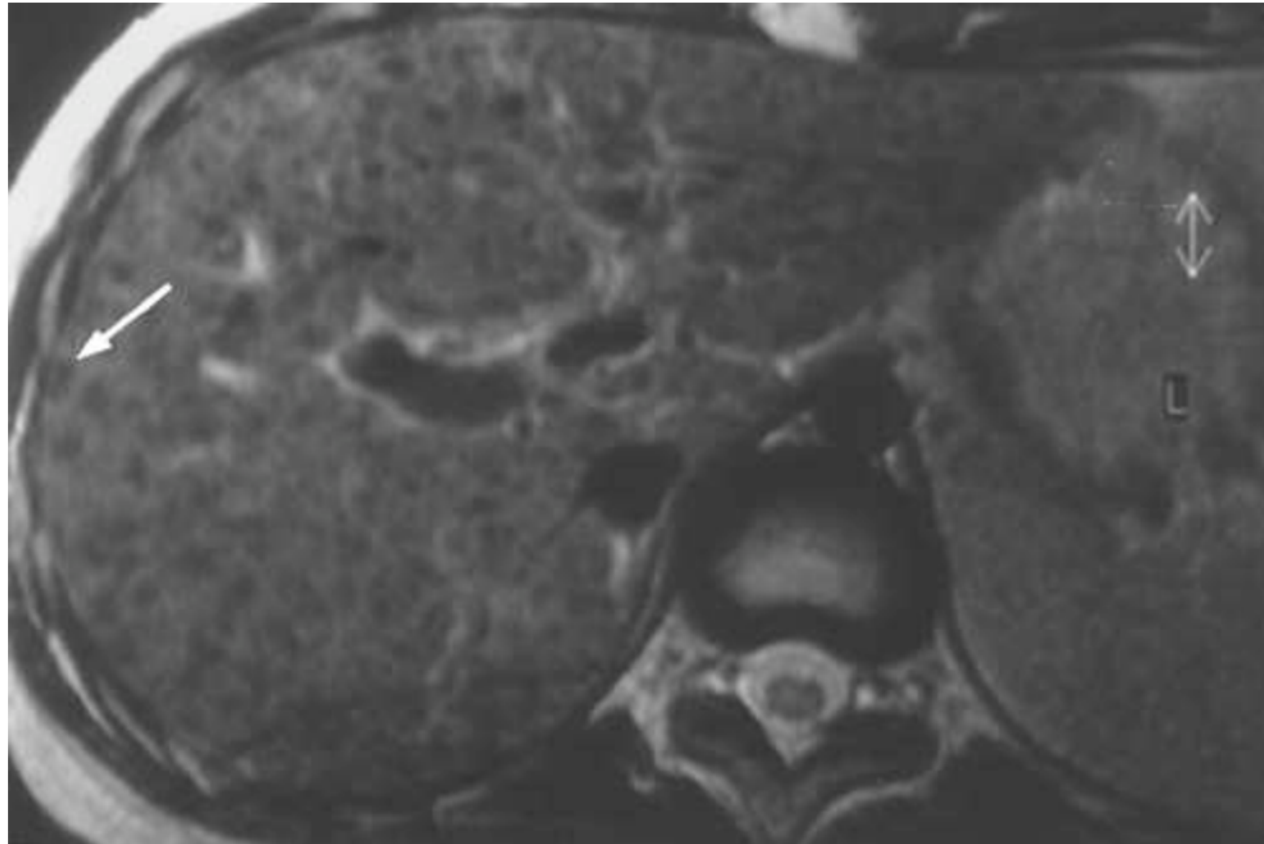


# Sekundaarne hemokromatoos



# Wilson'i tõbi

- Häiritud on vase organismist väljaviimine sapiteede kaudu
- Geneetiline haigus
- Ladestumine aju, maksa ja silma sarvkesta (Kayser-Fleischneri röngad)
- Ladestub periportaalses regioonis ja mööda sinusoidide kulgu
- Erinevalt rauast puuduvad paramagneetilised omadused (seotud valkudega hepatotsüütides)
- Kõige sagedasem piltdiagnostiline leid Wilsoni töve puhul maksas on tsirroos
  - T2 madala signaaliga sõlmekesed üle kogu maksa tingitud sekundaarsest raua ladestumisest



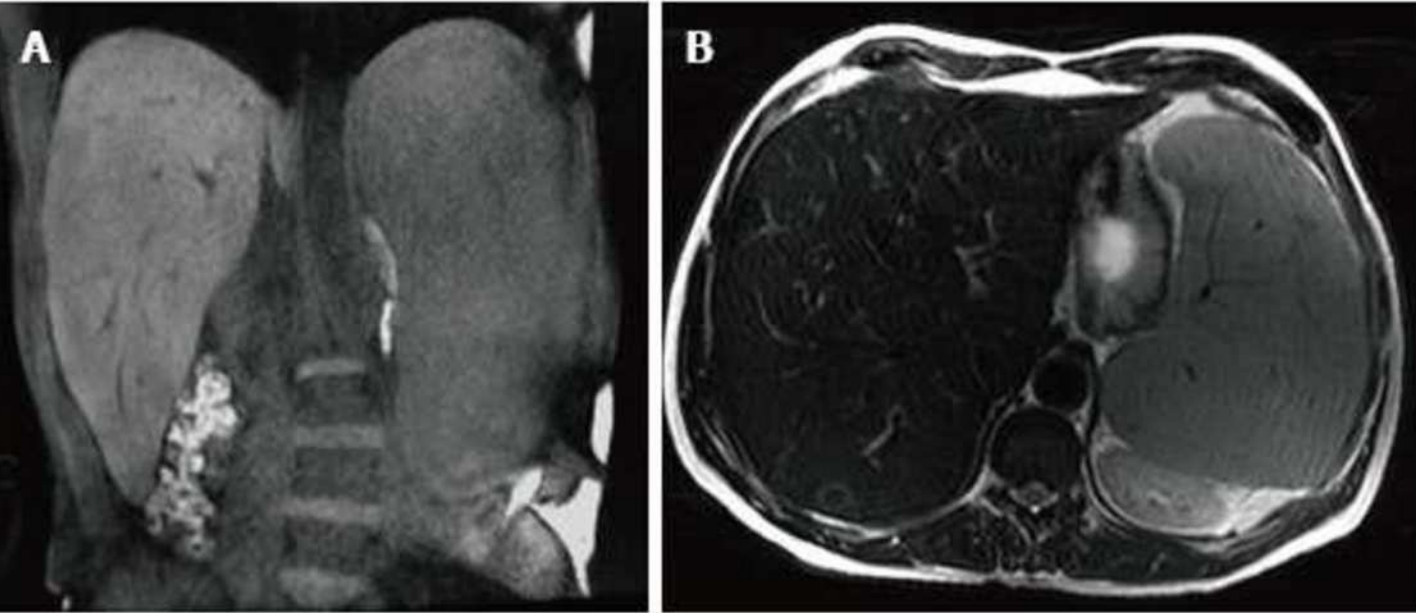
# Amüloidoos

- Ekstratsellulaarne amüloidi ladestumine paren hüümi sinusoidide või veresoonte seintesse
- Difuusne infiltratsioon
- Harva esinev muutus
- Piltdiagnsotika leid mittespetsiifiline:
  - Hepatomegaalia
  - KT-uuringul tiheduse ebaühtlane langus
  - Kaltsifikaadid
  - MRT-uuringul T1 signaali tõus, T2 ei muudu
- Biopsia diagnoos.



# Gaucher'i tõbi

- Lüsosomaalne ladestushaigus
- Glükolipiidide ladestumine lüsosoomidesse
- Tüüp 1, 2, 3
- Maksa leid:
  - hepatomegaalia
  - T2 kõrge signaalliga alad kui on tekkinud põletik/fibroos
  - maksainfarktid
  - põrnainfarktid

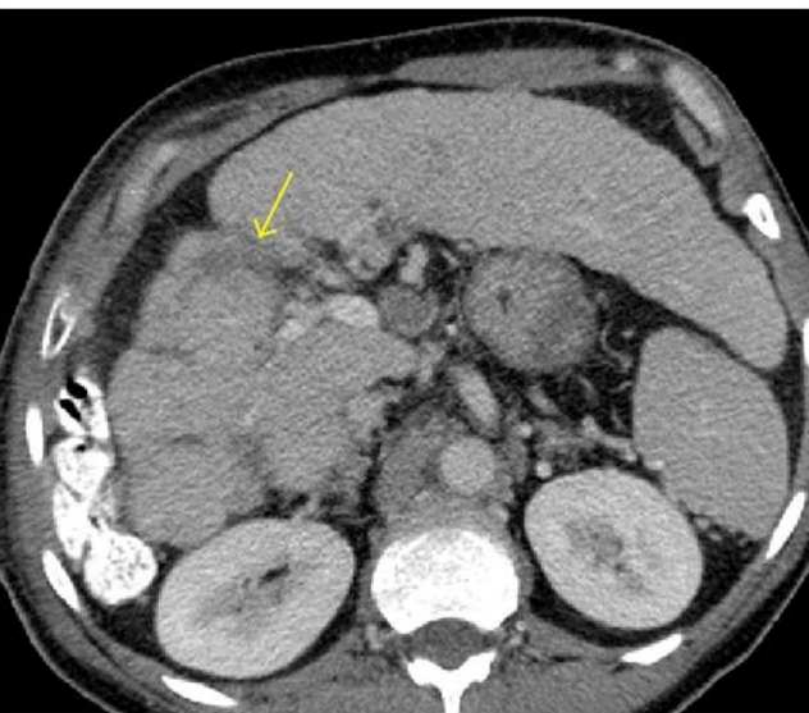
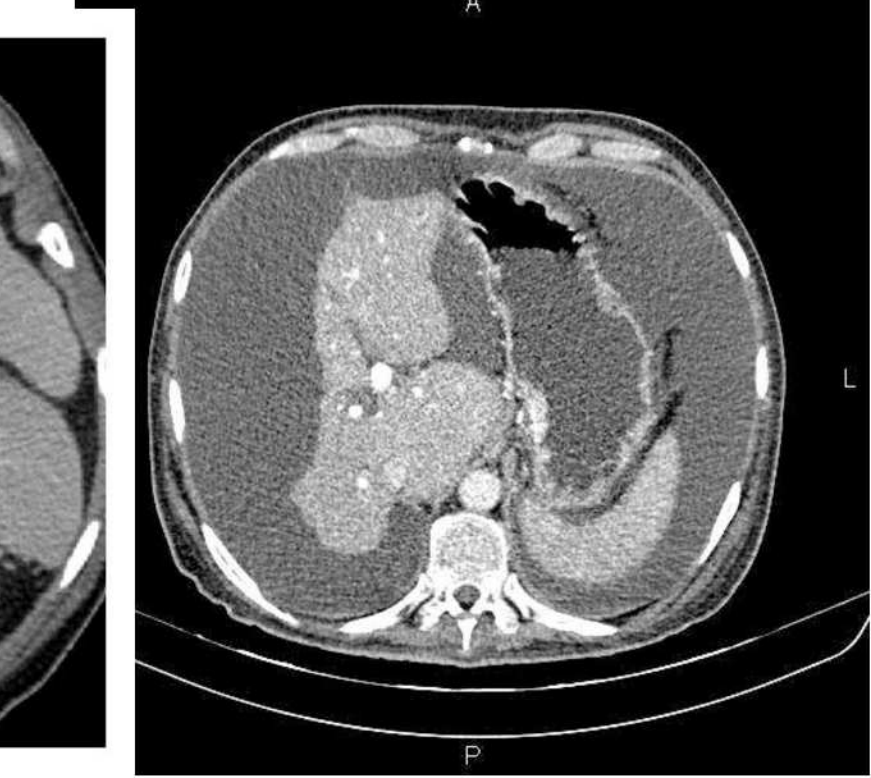
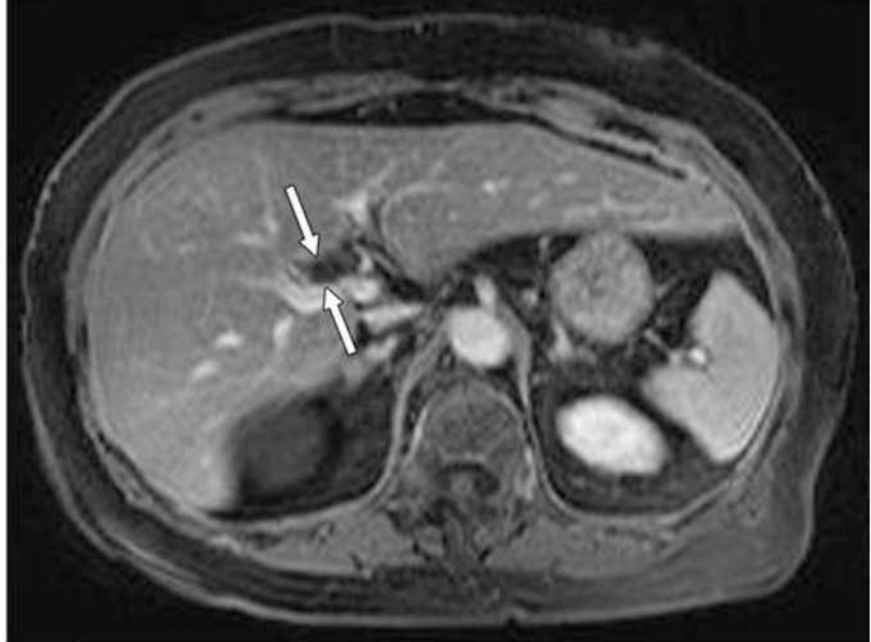


# Maksatsirroos

- Krooniline maksakahjustus toob kaasa põletikulise protsessi
  - Fibroos – ekstratsellulaarse maatriksi liigne produksioon ja ladestumine
  - Nodulaarne regeneratsioon
  - Arhitektoonika deformeeritus
- Tsirroos – fibroosi raskeim vorm, kroonilise maksakahjustuse lõppjärk.
- Tüsistusena portaalhüpertensioon ja HCC.
- Raskusastme hindamine (kliiniline): Child-Pugh, MELD (*Model for End-Stage Liver Disease*)

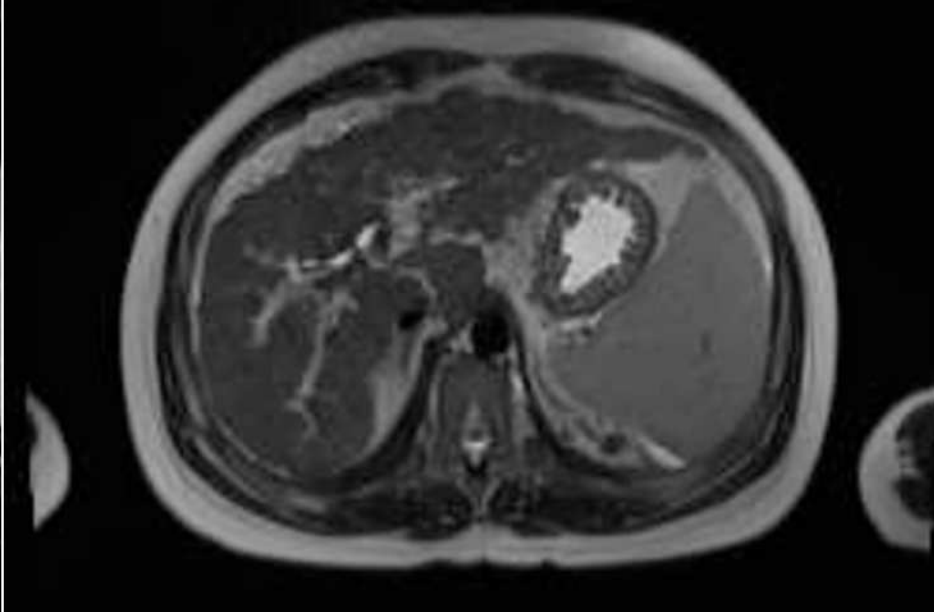
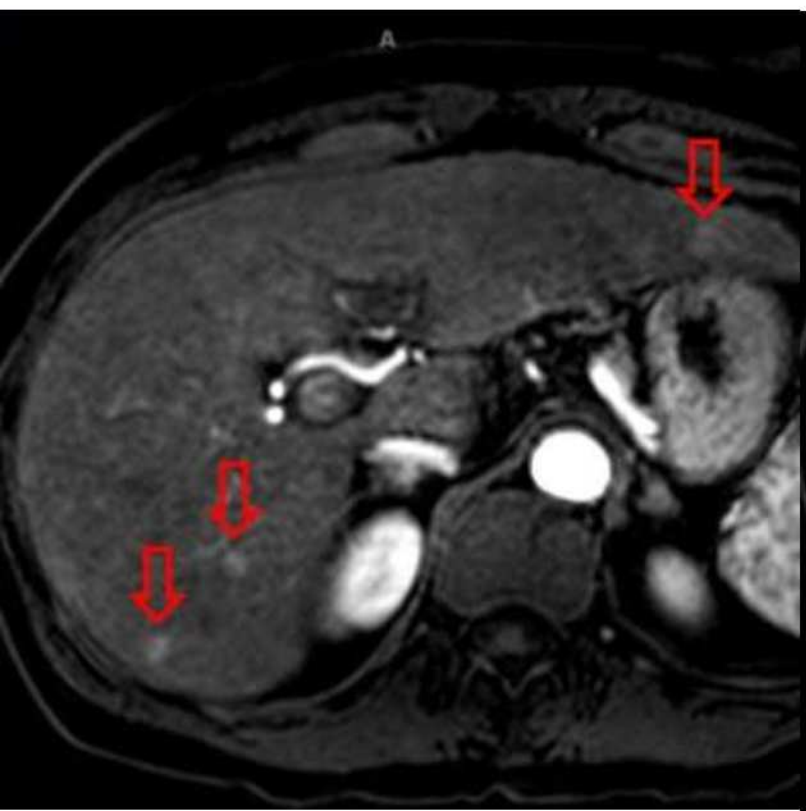
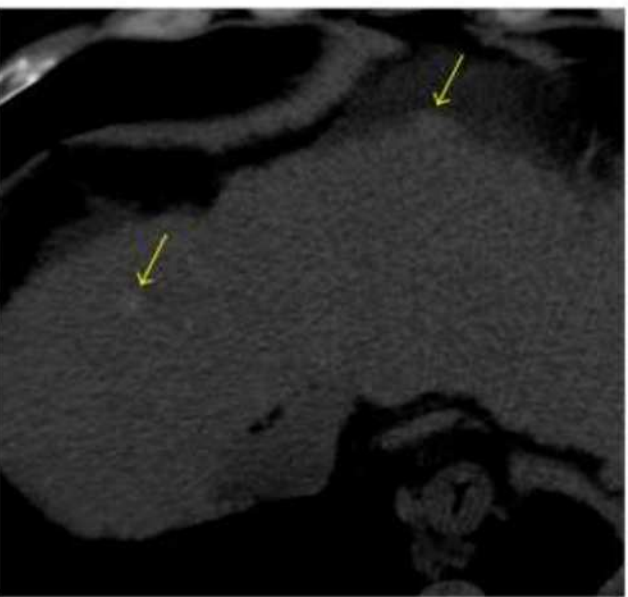
# KT ja MRT

- Maksavärti piirkonna periportaalse ruumi suurenemine
- Sapipõielooži laienemine
- S1/S2/S3 hüpertroofia
- S6 aj S7 atroofia



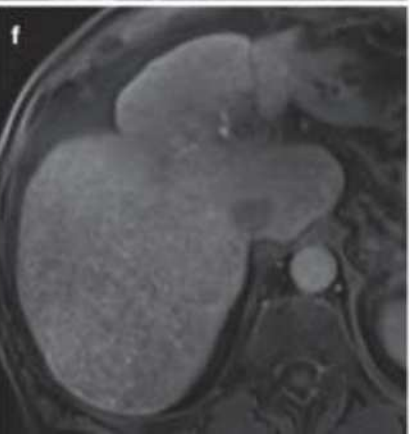
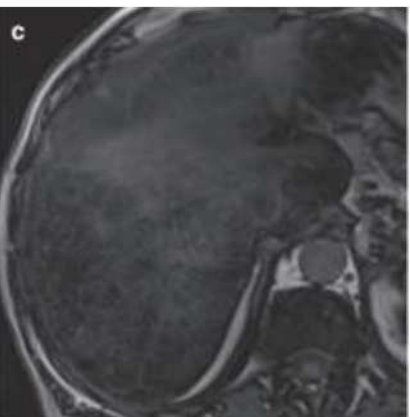
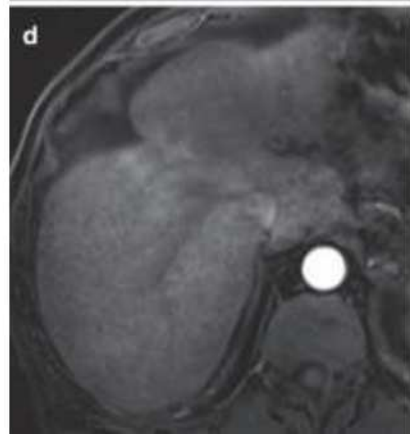
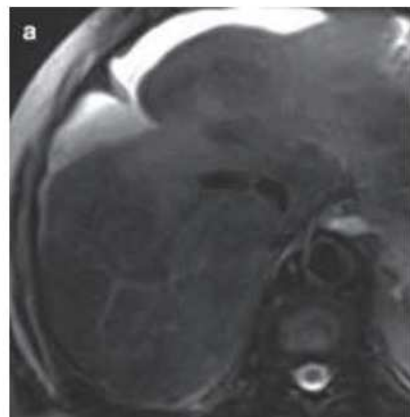
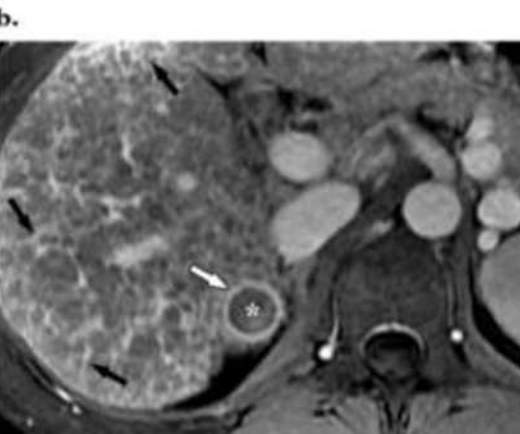
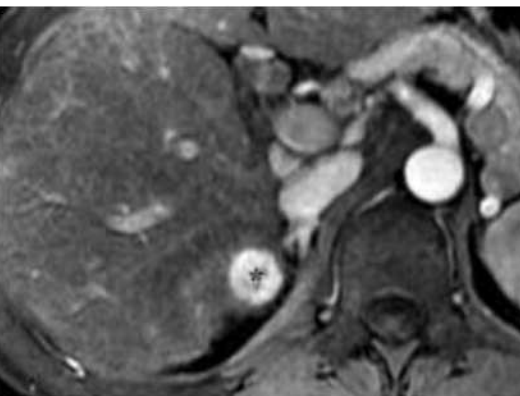
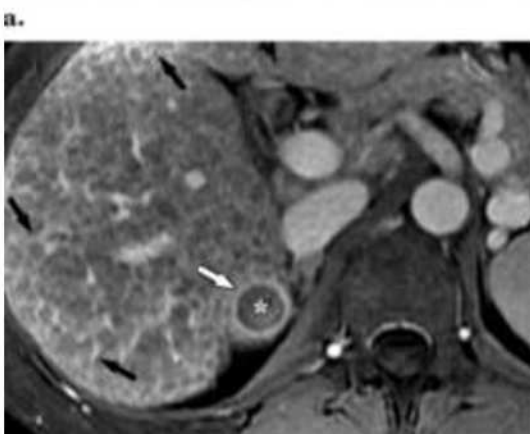
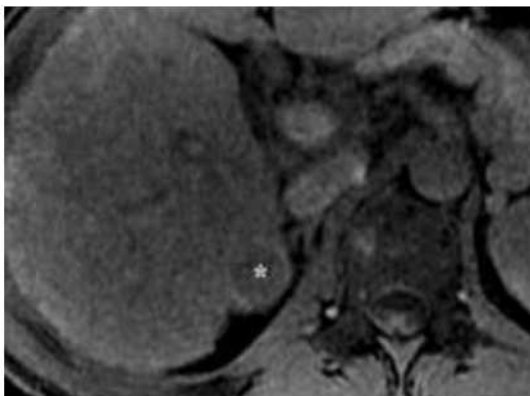
# Piltdiagnostika - KT, MRT

- Maksa kontuuri lobulaarsus, parenhüumi nodulaarsus
  - regeneratiivsed sõlmed
  - sideroosset sõlmed (raua ladestumine)
  - düsplastilised sõlmed (high ja low grade)
  - maliigsed sõlmed (HCC)
  - (LI-RADS)



# Piltdiagnostika KT, MRT

- Paren hüümi ebaühtlane kontrasteerumine
- Konfluentne fokaalne fibroos



# UH

- Kontuuri nodulaarsus
- Ebaühtlane ja tõusnud parenhüümi ehhogeensus
- Parema sagara atroofia, vasaku sagara hüpertroofia
- Tüsistuste visualiseerimine
- Doppler-UH
  - Portaalveeni laienemine
  - Aeglane vool/"tagurpidi" vool/pendeldav vool portaalveenis
  - Hingamisega seotud faasilisuse kadumine portaalveenis
  - Tromboos, kavernoosne transformatsioon
  - Paraumbilikaalveeni rekanaliseerumine
  - Maksaveenide voolu portalisatsioon
  - "korgitserikujuline" maksaarter, verevoolukiiruse tõus arteris



# UH- ja MRT - elastograafia

- Mitteinvasiivsed meetodid maksa fibroosi hindamiseks
  - Koe jäikuse/elastsuse hindamine

## UH-elastograafia – Fibroscan

- Ülekaal ja astsiit segab uuringut
- ROI valimine
- operaatorsõltuvus
- erinevad firmad – erinevad referentsvahemikud
- >7 kPa: väljendunud fibroos
- 12.5-15 kPa: tsirroos

# MRT-elastograafia

- *Active driver* – tekitab pneumaatilist mehhaanilist lainet (õhulained)
- On ühendatud *passive driver*'iga, mis paikneb patsiendi kehal
- *Passive driver* genereerib akustilise vibratsiooni, mis kandub üle kogu kõhukoopa, k.a maks, sagedus tavaliselt 60 Hz.
- *two-dimensional gradientrecalled-echo MR elastograafia sekvents*

- Väga tundlik fibroosi leidmisel
- Operatorsõltumatu
- Ravumine ja astsiit ei sega uuringut
- Fibroosi jaotumine maksas

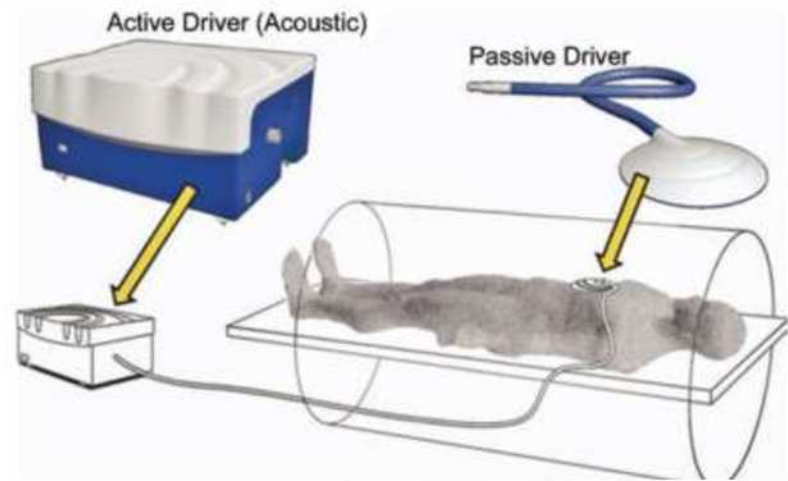
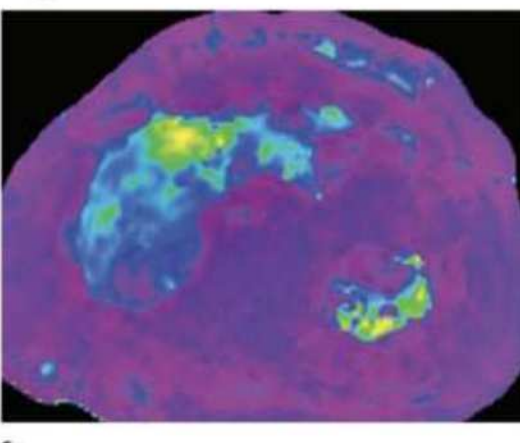
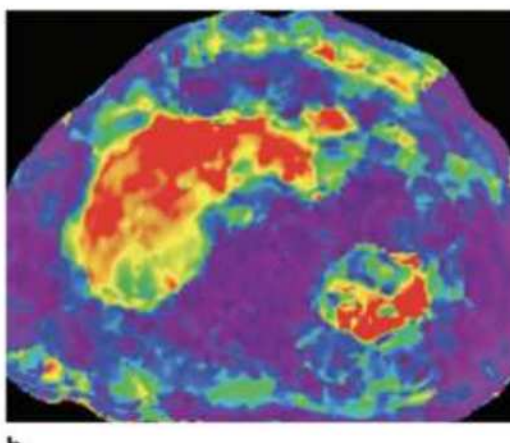
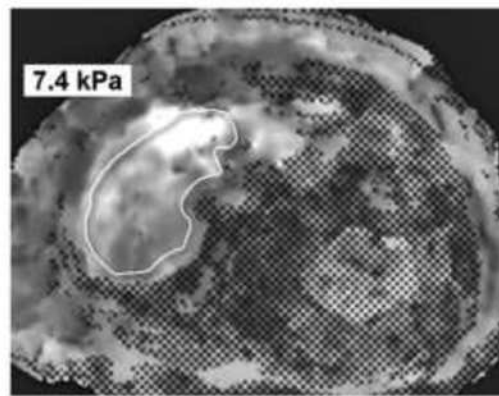


Figure 3. Elastogram images acquired during a liver MR elastography examination. (a) Gray-scale elastogram with the 95% confidence map superimposed shows a freehand ROI measurement of an area (outlined) with a mean liver stiffness of 7.4 kPa. (b) Color elastogram with a 0–8-kPa scale shows the stiffness distribution in organs for qualitative evaluation. Orange or red regions have higher stiffness values, and blue and purple regions have lower stiffness values. (c) Color elastograms with a 0–20-kPa scale. Although color elastograms with this scale are not commonly used clinically, they are helpful for evaluating liver heterogeneity, especially in livers with advanced fibrosis or cirrhosis.



# Biopsia?

- Fibroos võib olla fokaalne
- Erineva raskusastmega
- Patoloogi subjektiivsus
- Tüsistused
  - Kliiniliselt oluline verejooks 1/50
  - Surm

# Budd-Chiari sündroom

- Maksa venoosse ärvoolu obstruktsioon
  - veresoone seina põletik
  - sinusoidides rõhu tõus
  - portaalhüpertensioon
- Kliiniline leid:
  - Astsiit, hepatomegaalia, kõhuvalu
    - **Äge:** äge tromboos maksaveenides või alumises õõnesveenis; ägeda maksapuudulikkuse leid.
    - **Krooniline:** seotud maksaveenide fibroosiga.
    - Väga harvadel juhtudel fulminantne maksapuudulikkus
- Etioloogia:
  - idiopaatiline
  - venoosne tromboos sekundaarse leiuna

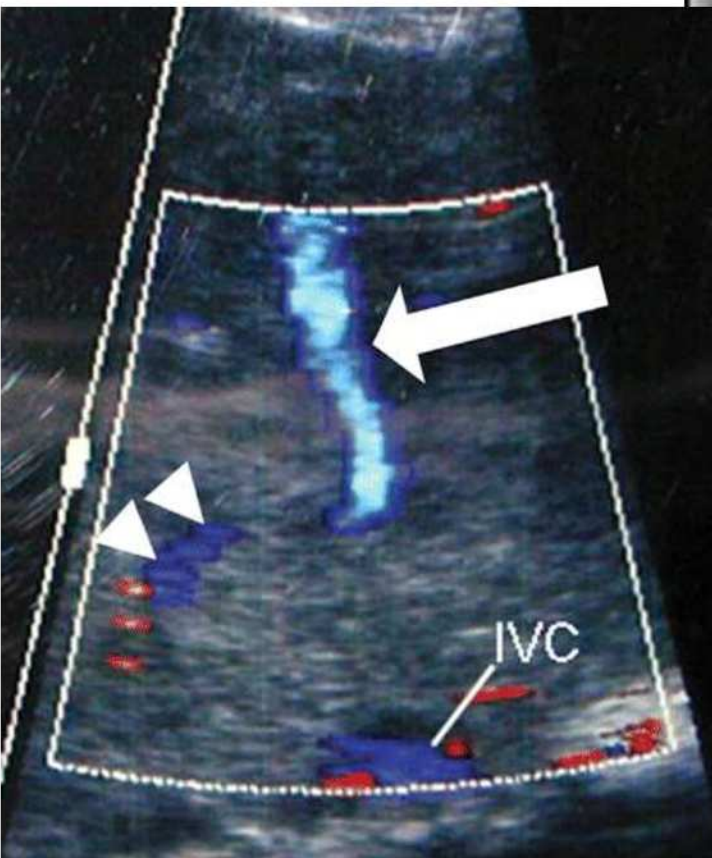
# Budd-Chiari sündroom – piltdiagnostika

- UH-uuring:

- Hepatomegaalia, splenomegaalia, maksa paren hüümi ebaühtlane kajalus, kroonilisele maksakahjustusele viitav leid, astsiit.

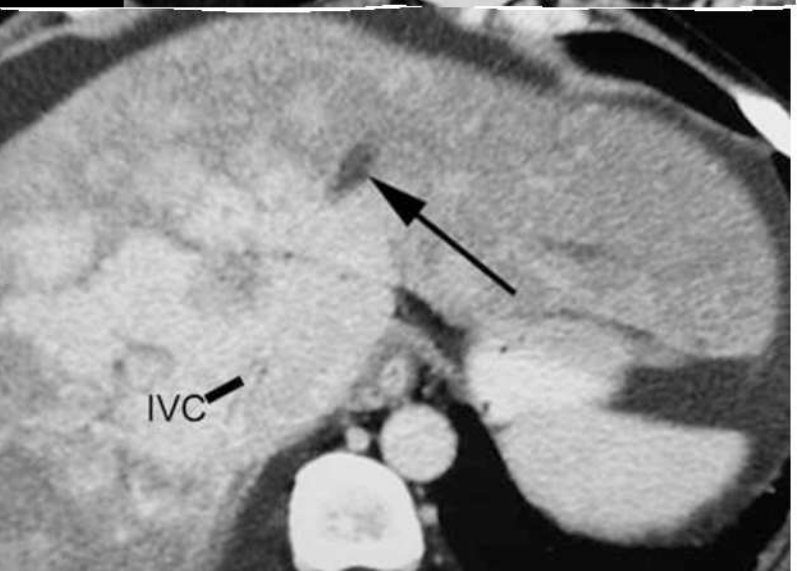
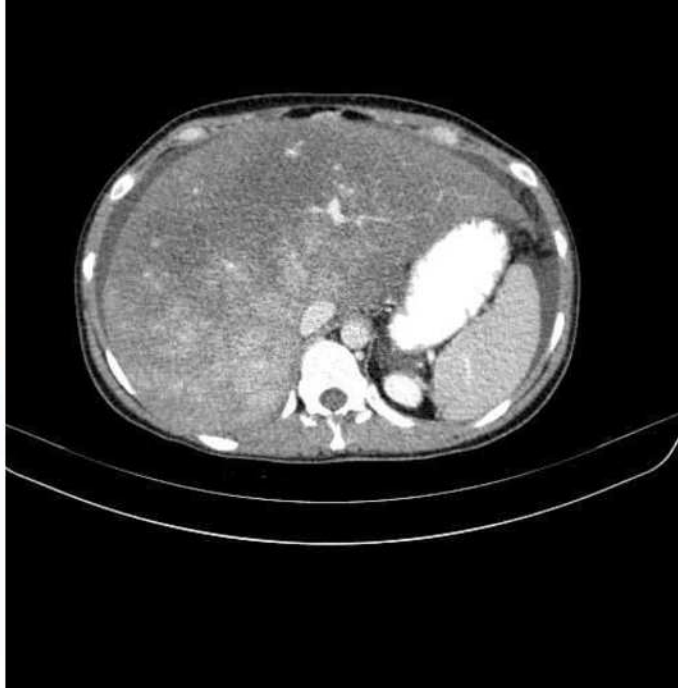
- Doppler – uuring

- Maksaveenides puudub verevool/vastassuunaline vool
- Voolusignaali puudumine maksaveeni ja v. cava inferiori vahel
- Alumises õõnesveenis verevoolu puudumine/tromboseerumine
- RI tõus maksaarteris  $>0,75$
- Kollateraalsooned (intra- ja ekstrahepaatilised)
- Portaalveenis hepatofugaalne vool



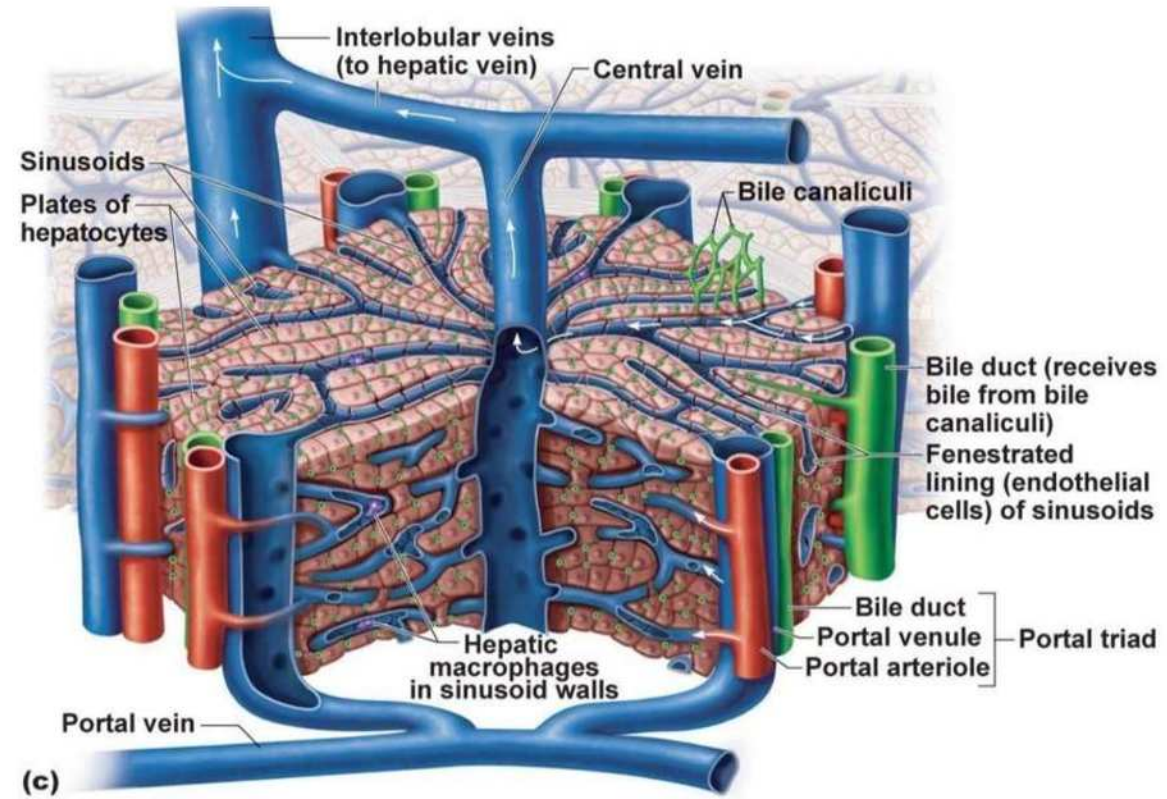
# Budd-Chiari sündroom - piltdiagnostika

- KT-uuring
  - Varajane maksakoe kontrasteerumine 1. segmendi ja alumise õõnesveeni ümbruses
  - Ebaühtlane "laiguline" maks (*nutmeg liver*)
  - Maksa perifeerne osa kontrasteerub kõikides faasides nõrgemalt
  - Maksaveenid ei tule nähtavale
  - 1. segmendi hüpertroofia + maksa perifeerse osa atroofia
  - Kollateraalsooned



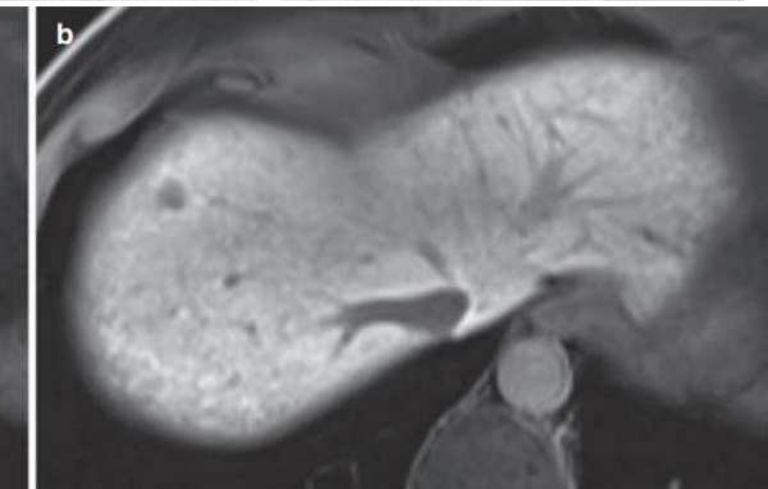
# Sinusoidaalne obstruktsiooni sündroom (SOS)

- Varasema nimega “venooklusiivne haigus”
- Maksa venoosse ärvoolu obstruktsioon sinusoidaalsete veenulite tasemel
  - Endoteeli vigastus
- Kliiniline avaldumine erinev
  - Asümpтомaatiline
  - Äge maksapuudulikkus
- Etioloogia: tüvirakkude siirdamine, **keemiaravi (eriti oksaliplatiin)**, antifosfolipiidsündroom



# Sinusoidaalne obstruktsiooni sündroom – piltdiagnostika

- KT-uuring: hepatomegaalia, ebaühtlane maksa kontrasteerumine, portaalveeni laienemine, astsiit
- MRT-uuring : maksaspetsiifilise kontrastainega hepatobiliaarses faasis visualiseerub difuusne hüpointensiivne retikulaarne muster
  - Spetsiifiline leid
  - Fokaalne -> parema sagara perifeerises osas
- Kirurgilise ravi planeerimisel tuleb seda maksakahjustust kindlasti märkida
  - Suuremahulise maksareseksiooni puhul maksapuudulikkuse risk



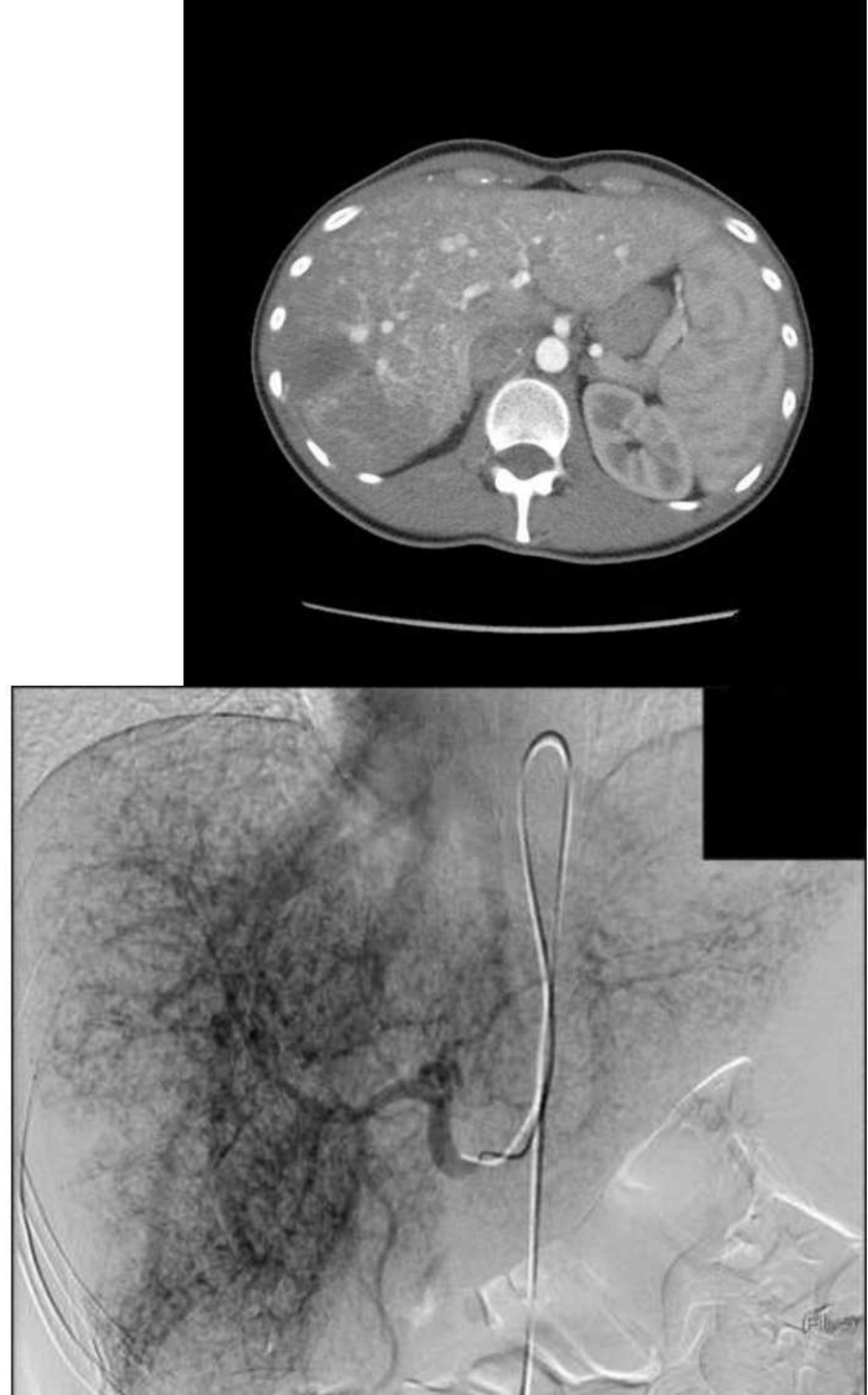
# Arteriovenoosse šundi

- Ühendus arteriaalse süsteemi ja portaalveeni/maksaveenide vahel
- Etioloogia:
  - Tsirroosi puhul võivad tekkida spontaanselt
  - Pärilik sündroom - *hereditary hemorrhagic telangiectasia (HHT)*
  - Posttraumaatilised
  - Menetlusjärgsed

Piltdiagnostika: KT ja MRT, angiograafia

- väiksed perifeersed kontrasteeruvad alad art. faasis (ei ole ümarad)
- portaalvenoosses faasis muutuvad eristamatuks maksakoest

Üksikut väikest shunti võib olla raske eristada väiksest HCC-st, uuring dünaamikas.



# Paismaks



- Krooniline südame parema poole puudulikkus
  - Toob kaasa vere staasi maksa parenhüümis
- Hepatomegaalia, ebaühtlase tihedusega maks -> ägeda südamepuudulikkuse korral
- Kontrastaine refluks IVC-sse ja maksaveenidesse
- Iaienenud maksaveenid
  - normaalne: 5.6 kuni 6.2 mm
- Periportaalne turse
- "nutmeg liver"
- Tsirroos



# Sarkoidoos

- Granulomatoosne põletik
  - mittekaseoossete granuloomid
- Kõhuorganid on sageli haaratud, aga väga harva sümpтоматiline
  - <5% tekib sümpтоматiline maksahaigus
- Histoloogiliselt granuloomid alla 2 mm, laatumine muudab need nähtavaks
- KT – hüpodenssed mittekontrasteeruvad lesioonid (10-15%)
- MRT – granuloomid on T1 ja T2 madala signaaliga



# Haigusjuht – 58 M

- Andmed eemaldatud.

# Kokkuvõtteks

- Difuusseid maksahaiguseid on mitmeid ja erineva geneesiga.
  - Sageli mittespetsiifilise leiuga
  - Vajalik kliiniline/laboratoorne info, vahel ka geneetiline analüüs.
- Omal kohal on kõik kolm modaliteeti: UH, KT, MRT.
- Ka steatoosi on oluline mainida.
- MR elastograafia on parim mitteinvasiivne meetod maksafibroosi hindamiseks.
- Tsirroos – kroonilise maksakahjustuse lõppjärk.
  - Tüsistused

# Kasutatud kirjandus

MR Imaging of Liver Fibrosis: Current State of the Art Silvana C. Faria, MD, PhD<sup>2</sup> • Karthik Ganesan, DNB • Irene Mwangi, MD • Masoud Shiehmorteza, MD • Barbara Viamonte, MD • Sameer Mazhar, MD • Michael Peterson, MD • Yuko Kono, MD • Cynthia Santillan, MD • Giovanna Casola, MD • Claude B. Sirlin, MD

Liver MR Elastography Technique and Image Interpretation: Pearls and Pitfalls Flavius F. Guglielmo, MD Sudhakar K. Venkatesh, MD Donald G. Mitchell, MD

American Journal of Roentgenology. 2000;174: 965-971. 10.2214/ajr.174.4.1740965 <https://www.ajronline.org/doi/10.2214/ajr.174.4.1740965>

**Radiopaedia: Sarcoidosis (abdominal manifestations)** <https://radiopaedia.org/articles/sinusoidal-obstruction-syndrome-1?lang=gb>

**Budd-Chiari Syndrome: Spectrum of Imaging Findings** Giuseppe Brancatelli<sup>1,2,3</sup>, Valérie Vilgrain<sup>4</sup>, Michael P. Federle<sup>3</sup>, Antoine Hakime<sup>4</sup>, Roberto Lagalla<sup>2</sup>, Riccardo Iannaccone<sup>5</sup> and Dominique Valla<sup>6</sup> <https://www.ajronline.org/doi/10.2214/AJR.05.0168#:~:text=The%20key%20imaging%20findings%20in,collateral%20vessels%20and%20hypervascular%20nodules>.

**Radiology Assistant: Liver - Segmental Anatomy Robin Smithuis and Eduard E. de Lange** <https://radiologyassistant.nl/abdomen/liver/segmental-anatomy#segmental-anatomy-how-to-separate-liver-segments-on-cross-sectional-imaging>

Conventional hepatic arterial anatomy? Novel findings and insights of a multi-disciplinary hepatic arterial infusion pump program Author links open overlay panel Brett S. Walker<sup>a</sup>, Thomas L. Sutton<sup>a</sup>, Robert L. Eil<sup>a,b</sup>, Elena K. Korngold<sup>c</sup>, Kenneth J. Kolbeck<sup>d</sup>, Kevin G. Billingsley<sup>a,b</sup>, Skye C. Mayo<sup>a,b</sup> <https://www.sciencedirect.com/science/article/abs/pii/S0002961021001033>

[https://www.cureus.com/articles/44775-role-of-ct-imaging-with-three-dimensional-maximum-intensity-projection-reconstruction-in-the-evaluation-of-portal-vein-variants-at-a-tertiary-care-hospital#/!](https://www.cureus.com/articles/44775-role-of-ct-imaging-with-three-dimensional-maximum-intensity-projection-reconstruction-in-the-evaluation-of-portal-vein-variants-at-a-tertiary-care-hospital#/!/)

**Radiopaedia: Diffuse hepatic steatosis (grading)** <https://radiopaedia.org/articles/diffuse-hepatic-steatosis-grading?lang=gb>

**Radioapedia: Diffuse hepatic steatosis** <https://radiopaedia.org/articles/diffuse-hepatic-steatosis?lang=gb>

CT-based visual grading system for assessment of hepatic steatosis: diagnostic performance and interobserver agreement Hyo Jung Park, Kyoung Won Kim, Heon-Ju Kwon, Sunyoung Lee, Dong Wook Kim, Hye Hyeon Moon, Gi-Won Song & Sung-Gyu Lee <https://link.springer.com/article/10.1007/s12072-022-10373-0>

**Amyloidosis: Review and CT Manifestations** Christos S. Georgiades, Edward G. Neyman, Matthew A. Barish, Elliot K. Fishman

Erinevad Radiopaedia haigusjuhud:

- Case courtesy of Ben Hudson, Radiopaedia.org, rID: 61629.
- Case courtesy of Chris O'Donnell, Radiopaedia.org, rID: 32887
- Case courtesy of Nasir Siddiqui, Radiopaedia.org, rID: 12906
- Case courtesy of Donna D'Souza, Radiopaedia.org, rID: 36058
- Case courtesy of Mohammadtaghi Niknejad, Radiopaedia.org, rID: 60715
- Case courtesy of Michael P Hartung, Radiopaedia.org, rID: 92824
- Case courtesy of Paresh K Desai, Radiopaedia.org, rID: 14938
- Case courtesy of Hani Makky Al Salam, Radiopaedia.org, rID: 8806
- Case courtesy of Ayush Goel, Radiopaedia.org, rID: 33280
- Case courtesy of Ayush Goel, Radiopaedia.org, rID: 33281
- Case courtesy of Bruno Di Muzio, Radiopaedia.org, rID: 80803
- Case courtesy of Jeffrey Hocking, Radiopaedia.org, rID: 45972
- Case courtesy of Abdallah Al Khateeb, Radiopaedia.org, rID: 44914